

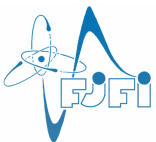
Přesná řešení pro dvoufázové proudění v porézním prostředí: Můžeme věřit numerickému řešení?

Radek Fučík

Katedra matematiky FJFI ČVUT v Praze
&

Center for Experimental Study of Subsurface Environmental Processes,
Colorado School of Mines, Colorado, USA

Seminář současné matematiky 4. 12. 2019



CESEP



Obsah

Matematické modelování

Proudění v porézním prostředí

Ukázková úloha dvoufázového proudění

Přehled přesných řešení

Přesné řešení v \mathbb{R}^d

Pachatelé

Obsah

Matematické modelování

Proudění v porézním prostředí

Ukázková úloha dvoufázového proudění

Přehled přesných řešení

Přesné řešení v \mathbb{R}^d

Pachatelé

Co je to matematické modelování?



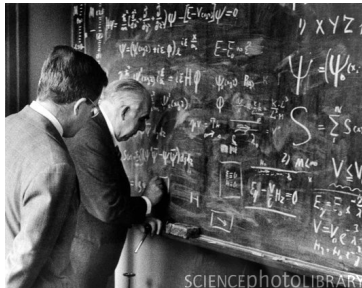
- Přírodní jev

Co je to matematické modelování?



- Přírodní jev
- Studium přírodních zákonů

Co je to matematické modelování?



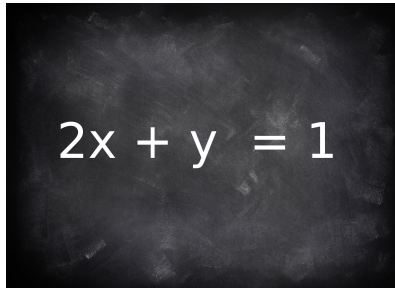
- Přírodní jev
- Studium přírodních zákonů
- Fyzikální popis

Co je to matematické modelování?



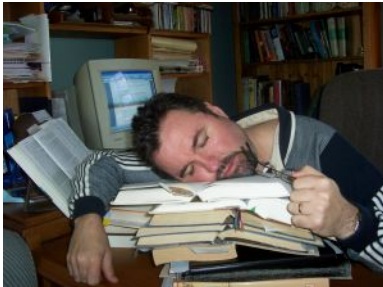
- Přírodní jev
- Studium přírodních zákonů
- Fyzikální popis
- Experimentální data (laboratorní výsledky)

Co je to matematické modelování?


$$2x + y = 1$$

- Přírodní jev
- Studium přírodních zákonů
- Fyzikální popis
- Experimentální data (laboratorní výsledky)
- Matematický model

Co je to matematické modelování?



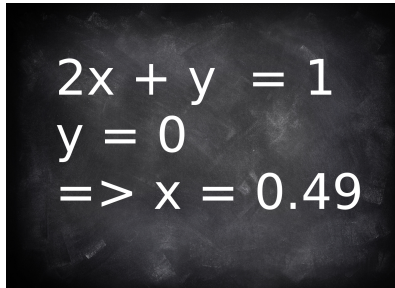
- Přírodní jev
- Studium přírodních zákonů
- Fyzikální popis
- Experimentální data (laboratorní výsledky)
- Matematický model
- Návrh numerické (počítačové) metody pro řešení modelu

Co je to matematické modelování?

$$\begin{aligned}2x + y &= 1 \\y &= 0 \\\Rightarrow x &= \text{NaN}\end{aligned}$$

- Přírodní jev
- Studium přírodních zákonů
- Fyzikální popis
- Experimentální data (laboratorní výsledky)
- Matematický model
- Návrh numerické (počítačové) metody pro řešení modelu
- Implementace numerické metody

Co je to matematické modelování?


$$\begin{aligned}2x + y &= 1 \\y &= 0 \\\Rightarrow x &= 0.49\end{aligned}$$

- Přírodní jev
- Studium přírodních zákonů
- Fyzikální popis
- Experimentální data (laboratorní výsledky)
- Matematický model
- Návrh numerické (počítačové) metody pro řešení modelu
- Implementace numerické metody
- Interpretace simulovaných výsledků

Obsah

Matematické modelování

Proudění v porézním prostředí

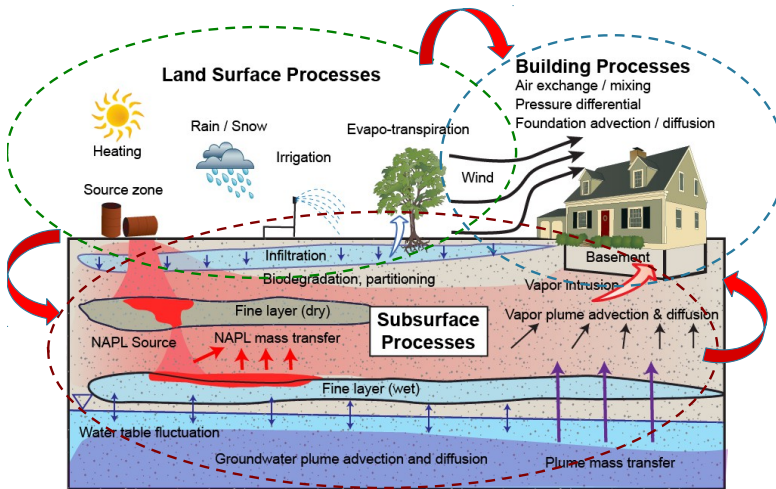
Ukázková úloha dvoufázového proudění

Přehled přesných řešení

Přesné řešení v \mathbb{R}^d

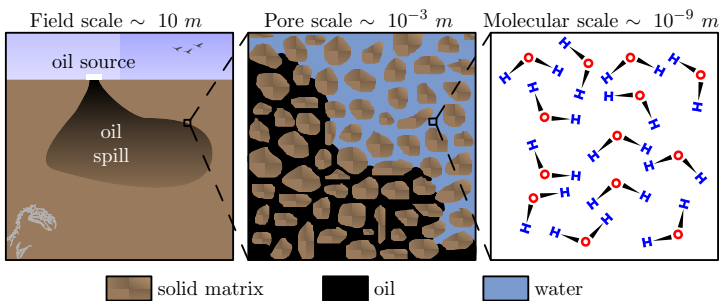
Pachatelé

Motivace



[zdroj: SERDP Project No.ER-1687 Final report, 2014]

Měřítka



Matematické modelování dvoufázového proudění v porézním prostředí

- fáze: voda, plyn, NAPL
(Non-Aqueous Phase Liquid)



Obrázek: Experiment [CESEP,
Colorado School of Mines]

Matematické modelování dvoufázového proudění v porézním prostředí

- fáze: voda, plyn, NAPL
(Non-Aqueous Phase Liquid)
- nemísivé fáze



Obrázek: Experiment [CESEP,
Colorado School of Mines]

Matematické modelování dvoufázového proudění v porézním prostředí

- fáze: voda, plyn, NAPL
(Non-Aqueous Phase Liquid)
- nemísivé fáze
- stlačitelné nebo nestlačitelné fáze



Obrázek: Experiment [CESEP,
Colorado School of Mines]

Matematické modelování dvoufázového proudění v porézním prostředí

- fáze: voda, plyn, NAPL (Non-Aqueous Phase Liquid)
- nemísivé fáze
- stlačitelné nebo nestlačitelné fáze
- kapilarita



Obrázek: Experiment [CESEP, Colorado School of Mines]

Matematické modelování dvoufázového proudění v porézním prostředí

- fáze: voda, plyn, NAPL (Non-Aqueous Phase Liquid)
- nemísivé fáze
- stlačitelné nebo nestlačitelné fáze
- kapilarita
- gravitace



Obrázek: Experiment [CESEP, Colorado School of Mines]

Matematické modelování dvoufázového proudění v porézním prostředí

- fáze: voda, plyn, NAPL (Non-Aqueous Phase Liquid)
- nemísivé fáze
- stlačitelné nebo nestlačitelné fáze
- kapilarita
- gravitace
- heterogenní prostředí



Obrázek: Experiment [CESEP, Colorado School of Mines]

Rovnice dvoufázového proudění v \mathbb{R}^d

- Rovnice kontinuity pro fázi $\alpha = w, n$:

$$\frac{\partial(\phi\rho_\alpha S_\alpha)}{\partial t} + \nabla \cdot (\rho_\alpha \vec{v}_\alpha) = F_\alpha$$

Rovnice dvoufázového proudění v \mathbb{R}^d

- Rovnice kontinuity pro fázi $\alpha = w, n$:

$$\frac{\partial(\phi\rho_\alpha S_\alpha)}{\partial t} + \nabla \cdot (\rho_\alpha \vec{v}_\alpha) = F_\alpha$$

- Darcyho zákon pro fázi $\alpha = w, n$:

$$\vec{v}_\alpha = -\lambda_\alpha \mathbf{K}(\nabla p_\alpha - \rho_\alpha \vec{g})$$

Rovnice dvoufázového proudění v \mathbb{R}^d

- Rovnice kontinuity pro fázi $\alpha = w, n$:

$$\frac{\partial(\phi\rho_\alpha S_\alpha)}{\partial t} + \nabla \cdot (\rho_\alpha \vec{v}_\alpha) = F_\alpha$$

- Darcyho zákon pro fázi $\alpha = w, n$:

$$\vec{v}_\alpha = -\lambda_\alpha \mathbf{K}(\nabla p_\alpha - \rho_\alpha \vec{g})$$

- Bilance saturace

$$S_w + S_n = 1$$

Rovnice dvoufázového proudění v \mathbb{R}^d

- Rovnice kontinuity pro fázi $\alpha = w, n$:

$$\frac{\partial(\phi\rho_\alpha S_\alpha)}{\partial t} + \nabla \cdot (\rho_\alpha \vec{v}_\alpha) = F_\alpha$$

- Darcyho zákon pro fázi $\alpha = w, n$:

$$\vec{v}_\alpha = -\lambda_\alpha \mathbf{K}(\nabla p_\alpha - \rho_\alpha \vec{g})$$

- Bilance saturace

$$S_w + S_n = 1$$

- Kapilární tlak

$$p_c = p_n - p_w = p_c(S_w)$$

(používají se empirické modely závislosti na saturaci)

Rovnice dvoufázového proudění v \mathbb{R}^d

- Rovnice kontinuity pro fázi $\alpha = w, n$:

$$\frac{\partial(\phi\rho_\alpha S_\alpha)}{\partial t} + \nabla \cdot (\rho_\alpha \vec{v}_\alpha) = F_\alpha$$

- Darcyho zákon pro fázi $\alpha = w, n$:

$$\vec{v}_\alpha = -\lambda_\alpha \mathbf{K}(\nabla \textcolor{red}{p}_\alpha - \rho_\alpha \vec{g})$$

- Bilance saturace

$$S_w + S_n = 1$$

- Kapilární tlak

$$p_c = \textcolor{red}{p}_n - \textcolor{red}{p}_w = p_c(S_w)$$

(používají se empirické modely závislosti na saturaci)

- Předpoklady pro některé z uvedených veličin:

- $p_\alpha = \textcolor{red}{p}_\alpha(t, \vec{x})$
 - tlak fáze $\alpha = w, n$
 - diferencovatelná funkce $\forall t > 0$ a $\forall \vec{x} \in \Omega \subseteq \mathbb{R}^d$
 - rozměr: [Pa]

Rovnice dvoufázového proudění v \mathbb{R}^d

- Rovnice kontinuity pro fázi $\alpha = w, n$:

$$\frac{\partial(\phi \rho_\alpha S_\alpha)}{\partial t} + \nabla \cdot (\rho_\alpha \vec{v}_\alpha) = F_\alpha$$

- Darcyho zákon pro fázi $\alpha = w, n$:

$$\vec{v}_\alpha = -\lambda_\alpha \mathbf{K}(\nabla p_\alpha - \rho_\alpha \vec{g})$$

- Bilance saturace

$$S_w + S_n = 1$$

- Kapilární tlak

$$p_c = p_n - p_w = p_c(S_w)$$

(používají se empirické modely závislosti na saturaci)

- Předpoklady pro některé z uvedených veličin:

- hustota fáze $\alpha = w, n$
- diferencovatelná funkce $\forall t > 0$ a $\forall \vec{x} \in \Omega \subseteq \mathbb{R}^d$
- rozměr: $[kg\ m^{-3}]$

Rovnice dvoufázového proudění v \mathbb{R}^d

- Rovnice kontinuity pro fázi $\alpha = w, n$:

$$\frac{\partial(\phi\rho_\alpha S_\alpha)}{\partial t} + \nabla \cdot (\rho_\alpha \vec{v}_\alpha) = F_\alpha$$

- Darcyho zákon pro fázi $\alpha = w, n$:

$$\vec{v}_\alpha = -\lambda_\alpha \mathbf{K}(\nabla p_\alpha - \rho_\alpha \vec{g})$$

- Bilance saturace

$$S_w + S_n = 1$$

- Kapilární tlak

$$p_c = p_n - p_w = p_c(S_w)$$

(používají se empirické modely závislosti na saturaci)

- Předpoklady pro některé z uvedených veličin:

$$S_\alpha = S_\alpha(t, \vec{x})$$

- saturace fáze $\alpha = w, n$
- diferencovatelná funkce v čase $\forall \vec{x} \in \Omega \subseteq \mathbb{R}^d$
- po částech hladká funkce v prostoru $\forall \vec{x} \in \Omega \subseteq \mathbb{R}^d$
- rozměr: [1]

Rovnice dvoufázového proudění v \mathbb{R}^d

- Rovnice kontinuity pro fázi $\alpha = w, n$:

$$\frac{\partial(\phi\rho_\alpha S_\alpha)}{\partial t} + \nabla \cdot (\rho_\alpha \vec{v}_\alpha) = F_\alpha$$

- Darcyho zákon pro fázi $\alpha = w, n$:

$$\vec{v}_\alpha = -\lambda_\alpha \mathbf{K}(\nabla p_\alpha - \rho_\alpha \vec{g})$$

- Bilance saturace

$$S_w + S_n = 1$$

- Kapilární tlak

$$p_c = p_n - p_w = p_c(S_w)$$

(používají se empirické modely závislosti na saturaci)

- Předpoklady pro některé z uvedených veličin:

$$\lambda_\alpha = \lambda_\alpha(S_w)$$

— mobilita fáze $\alpha = w, n$

— diferencovatelná funkce $\forall S_w \in [0, 1]$

— rozměr: $[kg^{-1}ms^2]$

Rovnice dvoufázového proudění v \mathbb{R}^d

- Rovnice kontinuity pro fázi $\alpha = w, n$:

$$\frac{\partial(\phi\rho_\alpha S_\alpha)}{\partial t} + \nabla \cdot (\rho_\alpha \vec{v}_\alpha) = F_\alpha$$

- Darcyho zákon pro fázi $\alpha = w, n$:

$$\vec{v}_\alpha = -\lambda_\alpha \mathbf{K}(\nabla p_\alpha - \rho_\alpha \vec{g})$$

- Bilance saturace

$$S_w + S_n = 1$$

- Kapilární tlak

$$p_c = p_n - p_w = p_c(S_w)$$

(používají se empirické modely závislosti na saturaci)

- Předpoklady pro některé z uvedených veličin:

$$\vec{v}_\alpha = \vec{v}_\alpha(t, \vec{x})$$

- Darcyho rychlosť fáze $\alpha = w, n$
- vektorová funkce $\forall t > 0$ a $\forall \vec{x} \in \Omega \subseteq \mathbb{R}^d$
- patří do prostoru $H(\text{div}, \Omega)$
- rozměr: $[ms^{-1}]^d$

Proudění v porézním prostředí

Více – viz předměty katedry matematiky:

- **01MMPV Matematické modely proudění podzemních vod**
3. ročník BS, přednáší doc. Jiří Mikyška, Ph.D.
- **01DYK Dynamika kontinua** (trochu)
2. ročník BS v LS (tj. **letos**) přednáší RF a Ing. Pavel Strachota, Ph.D.

Obhájené práce na katedře matematiky v této problematice:

- Milan Hokr (DP 1999)
- Martin Vohralík (DP 2000)
- Jiří Mikyška (DP 2001, PhD 2005)
- RF (DP 2006, PhD 2010)
- Pavel Beneš (DP 2007)
- Kateřina Marková (DP 2010)
- Ondřej Polívka (BP 2008, DP 2010, PhD 2018)
- Pavel Hron (BP 2008, DP 2011)
- Tereza Jindrová (BP 2012, DP 2013, **PGS**)
- Ondřej Šembera (BP 2013)
- Ondřej Pelech (BP 2014, DP 2016)
- Jakub Solovský (BP 2014, DP 2016, **PGS**)
- Jakub Klinkovský (BP 2015, DP 2017, **PGS**)
- Vojtěch Straka (BP 2016)
- Alexandr Žák (PhD 2019)
- Ondřej Pártl (PhD pozítří?)

Obsah

Matematické modelování

Proudění v porézním prostředí

Ukázková úloha dvoufázového proudění

Přehled přesných řešení

Přesné řešení v \mathbb{R}^d

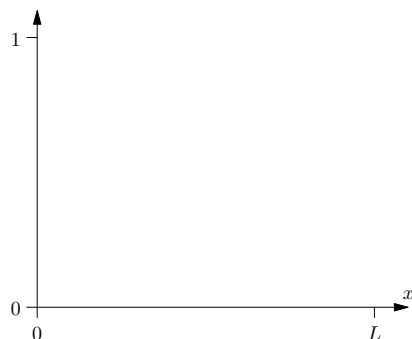
Pachatelé

Ukázková úloha: Definice

Úloha dvoufázového proudění bez gravitace a kapilarity v \mathbb{R}^1 :

$$\phi \frac{\partial S}{\partial t} + u \frac{\partial f(S)}{\partial x} = 0$$

kde $x \in [0, L]$, $t \in (0, T)$



Obrázek: Oblast $[0, L]$.

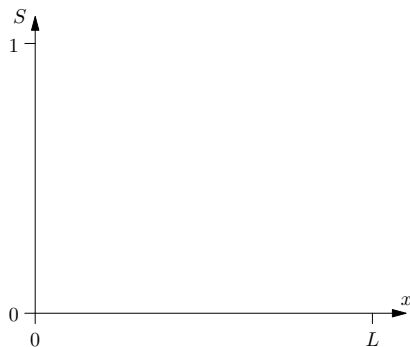
Ukázková úloha: Definice

Úloha dvoufázového proudění bez gravitace a kapilarity v \mathbb{R}^1 :

$$\phi \frac{\partial S}{\partial t} + u \frac{\partial f(S)}{\partial x} = 0$$

kde $x \in [0, L]$, $t \in (0, T)$ a:

- S ... saturace vody ($S := S_w$)



Obrázek: Oblast $[0, L]$.

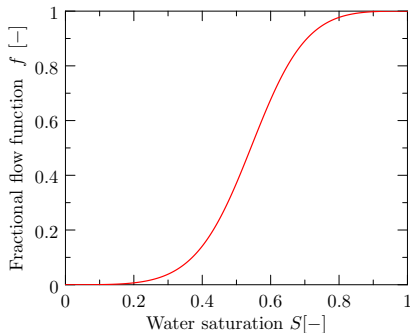
Ukázková úloha: Definice

Úloha dvoufázového proudění bez gravitace a kapilarity v \mathbb{R}^1 :

$$\phi \frac{\partial S}{\partial t} + u \frac{\partial f(S)}{\partial x} = 0$$

kde $x \in [0, L]$, $t \in (0, T)$ a:

- S ... saturace vody ($S := S_w$)
- f ... frakční toková funkce



Obrázek: Funkce $f(S) = \frac{\lambda_w(S)}{\lambda_w(S) + \lambda_n(S)}$

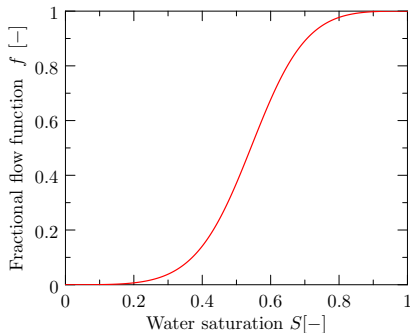
Ukázková úloha: Definice

Úloha dvoufázového proudění bez gravitace a kapilarity v \mathbb{R}^1 :

$$\phi \frac{\partial S}{\partial t} + u \frac{\partial f(S)}{\partial x} = 0$$

kde $x \in [0, L]$, $t \in (0, T)$ a:

- S ... saturace vody ($S := S_w$)
- f ... frakční toková funkce
- ϕ ... porozita



Obrázek: Funkce $f(S) = \frac{\lambda_w(S)}{\lambda_w(S) + \lambda_n(S)}$

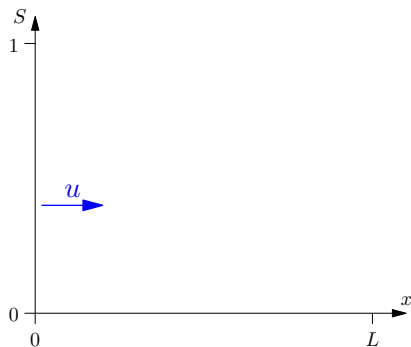
Ukázková úloha: Definice

Úloha dvoufázového proudění bez gravitace a kapilarity v \mathbb{R}^1 :

$$\phi \frac{\partial S}{\partial t} + u \frac{\partial f(S)}{\partial x} = 0$$

kde $x \in [0, L]$, $t \in (0, T)$ a:

- S ... saturace vody ($S := S_w$)
- f ... frakční toková funkce
- ϕ ... porozita
- u ... Darcyho rychlosť



Obrázek: Oblast $[0, L]$.

Ukázková úloha: Definice

Úloha dvoufázového proudění bez gravitace a kapilarity v \mathbb{R}^1 :

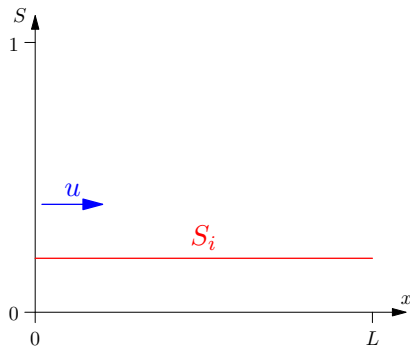
$$\phi \frac{\partial S}{\partial t} + u \frac{\partial f(S)}{\partial x} = 0$$

kde $x \in [0, L]$, $t \in (0, T)$ a:

- S ... saturace vody ($S := S_w$)
- f ... frakční toková funkce
- ϕ ... porozita
- u ... Darcyho rychlosť

Počáteční podmínka:

$$S(0, x) = S_i.$$



Obrázek: Oblast $[0, L]$.

Ukázková úloha: Definice

Úloha dvoufázového proudění bez gravitace a kapilarity v \mathbb{R}^1 :

$$\phi \frac{\partial S}{\partial t} + u \frac{\partial f(S)}{\partial x} = 0$$

kde $x \in [0, L]$, $t \in (0, T)$ a:

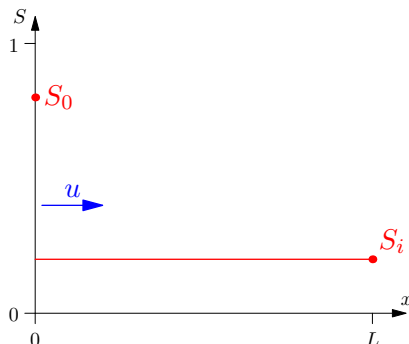
- S ... saturace vody ($S := S_w$)
- f ... frakční toková funkce
- ϕ ... porozita
- u ... Darcyho rychlosť

Počáteční podmínka:

$$S(0, x) = S_i.$$

Okrajová podmínka:

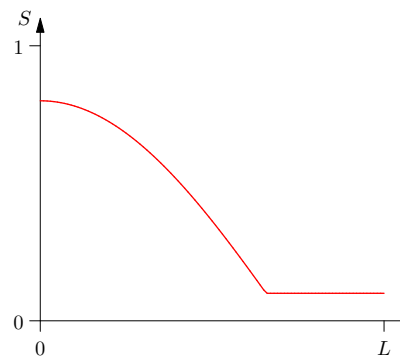
$$S(t, 0) = S_0, \quad S(t, L) = S_i.$$



Obrázek: Oblast $[0, L]$.

Ukázková úloha: Diskretizace MKD

Časově explicitní metoda konečných diferencí (MKD):



Obrázek: Spojité řešení.

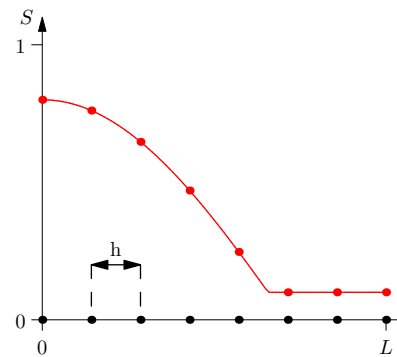
Ukázková úloha: Diskretizace MKD

Časově explicitní metoda konečných diferencí (MKD):

- Prostorová diskretizace $[0, L]$:

$$x_\ell = \ell h,$$

kde $h = \frac{L}{n}$, $\ell = 0, 1, \dots, n$



Obrázek: Diskrétní approximace.

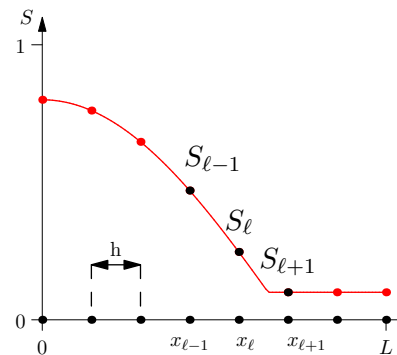
Ukázková úloha: Diskretizace MKD

Časově explicitní metoda konečných diferencí (MKD):

- Prostorová diskretizace $[0, L]$:

$$x_\ell = \ell h,$$

kde $h = \frac{L}{n}$, $\ell = 0, 1, \dots, n$



Obrázek: Diskrétní approximace.

Ukázková úloha: Diskretizace MKD

Časově explicitní metoda konečných diferencí (MKD):

- Prostorová diskretizace $[0, L]$:

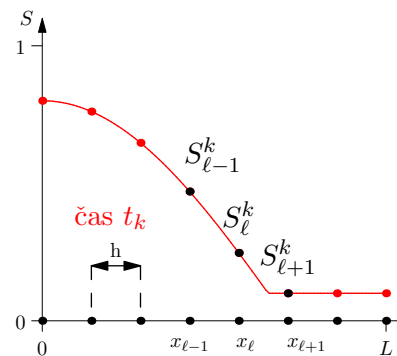
$$x_\ell = \ell h,$$

kde $h = \frac{L}{n}$, $\ell = 0, 1, \dots, n$

- Časová diskretizace $[0, T]$:

$$t_k = k\tau,$$

kde $\tau = \frac{T}{m}$, $k = 0, 1, \dots, m$



Obrázek: Diskrétní approximace.

Ukázková úloha: Diskretizace MKD

Časově explicitní metoda konečných diferencí (MKD):

- Prostorová diskretizace $[0, L]$:

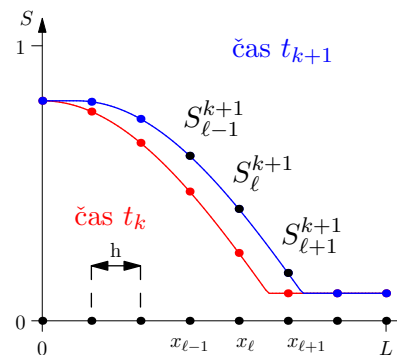
$$x_\ell = \ell h,$$

kde $h = \frac{L}{n}$, $\ell = 0, 1, \dots, n$

- Časová diskretizace $[0, T]$:

$$t_k = k\tau,$$

kde $\tau = \frac{T}{m}$, $k = 0, 1, \dots, m$



Obrázek: Diskrétní approximace.

Ukázková úloha: Diskretizace MKD

Časově explicitní metoda konečných diferencí (MKD):

- Prostorová diskretizace $[0, L]$:

$$x_\ell = \ell h,$$

kde $h = \frac{L}{n}$, $\ell = 0, 1, \dots, n$

- Časová diskretizace $[0, T]$:

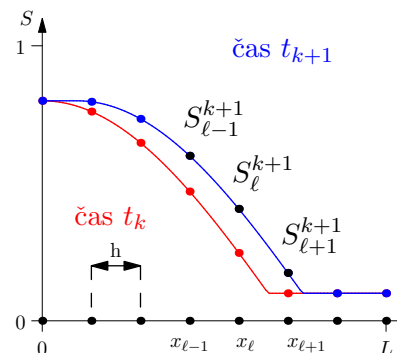
$$t_k = k\tau,$$

kde $\tau = \frac{T}{m}$, $k = 0, 1, \dots, m$

- Diskrétní approximace derivací:

$$\frac{\partial S(t_k, x_\ell)}{\partial t} \approx \frac{S_\ell^{k+1} - S_\ell^k}{\tau}$$

$$\frac{\partial S(t_k, x_\ell)}{\partial x} \approx \frac{S_{\ell+1}^k - S_{\ell-1}^k}{2h} \quad (\text{centrální differenze})$$



Obrázek: Diskrétní approximace.

Ukázková úloha: Numerické schéma

Úloha dvoufázového proudění bez gravitace a kapilarity v \mathbb{R}^1 :

$$\phi \frac{\partial S}{\partial t} + u \frac{\partial f(S)}{\partial x} = 0,$$

$$S(t, 0) = S_0,$$

$$S(t, L) = S_i.$$

Ukázková úloha: Numerické schéma

Úloha dvoufázového proudění bez gravitace a kapilarity v \mathbb{R}^1 :

$$\phi \frac{\partial S}{\partial t} + u \frac{\partial f(S)}{\partial x} = 0,$$

$$S(t, 0) = S_0,$$

$$S(t, L) = S_i.$$

Numerické schéma:

Ukázková úloha: Numerické schéma

Úloha dvoufázového proudění bez gravitace a kapilarity v \mathbb{R}^1 :

$$\phi \frac{\partial S}{\partial t} + u \frac{\partial f(S)}{\partial x} = 0,$$

$$S(t, 0) = S_0, \quad S(t, L) = S_i.$$

Numerické schéma:

$$\phi \frac{S_\ell^{k+1} - S_\ell^k}{\tau}$$

$$S_0^k = S_0, \quad S_n^k = S_i.$$

Ukázková úloha: Numerické schéma

Úloha dvoufázového proudění bez gravitace a kapilarity v \mathbb{R}^1 :

$$\phi \frac{\partial S}{\partial t} + u \frac{\partial f(S)}{\partial x} = 0,$$

$$S(t, 0) = S_0, \quad S(t, L) = S_i.$$

Numerické schéma:

$$\phi \frac{S_\ell^{k+1} - S_\ell^k}{\tau} + u \text{ ?} = 0,$$

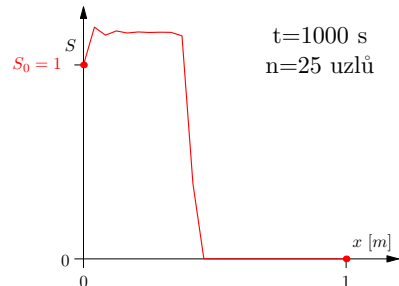
$$S_0^k = S_0, \quad S_n^k = S_i.$$

Ukázková úloha: Pokus 1

Aproximace derivace:

$$\frac{\partial f(S)}{\partial x} \approx \frac{df(\bar{S}_\ell^k)}{dS} \frac{S_{\ell+1}^k - S_{\ell-1}^k}{2h}$$

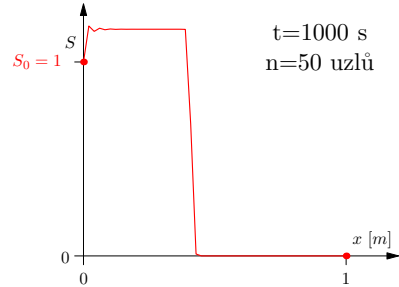
(centrální diference)



Poznámka:

$$\frac{\partial f(S)}{\partial x} = \frac{df(S)}{dS} \frac{\partial S}{\partial x}$$

(řetězové pravidlo)

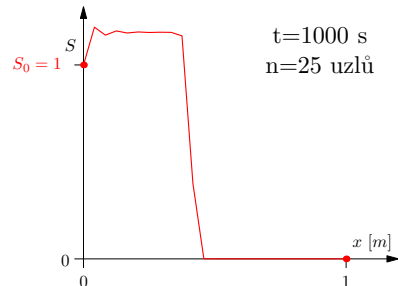


Ukázková úloha: Pokus 1

Aproximace derivace:

$$\frac{\partial f(S)}{\partial x} \approx \frac{df(\bar{S}_\ell^k)}{dS} \frac{S_{\ell+1}^k - S_{\ell-1}^k}{2h}$$

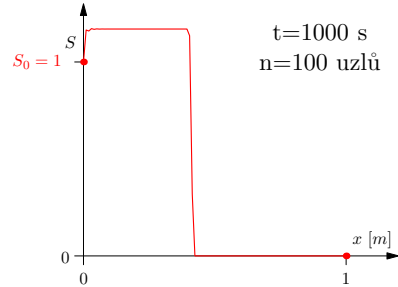
(centrální diference)



Poznámka:

$$\frac{\partial f(S)}{\partial x} = \frac{df(S)}{dS} \frac{\partial S}{\partial x}$$

(řetězové pravidlo)

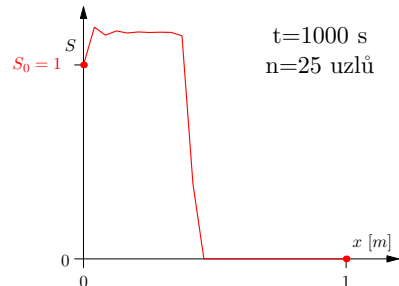


Ukázková úloha: Pokus 1

Aproximace derivace:

$$\frac{\partial f(S)}{\partial x} \approx \frac{df(\bar{S}_\ell^k)}{dS} \frac{S_{\ell+1}^k - S_{\ell-1}^k}{2h}$$

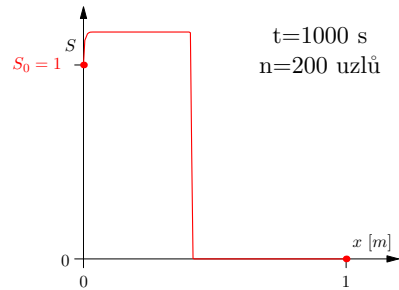
(centrální diference)



Poznámka:

$$\frac{\partial f(S)}{\partial x} = \frac{df(S)}{dS} \frac{\partial S}{\partial x}$$

(řetězové pravidlo)



Ukázková úloha: Pokus 2

Stabilizace pomocí umělé vazkosti:

$$\phi \frac{\partial S}{\partial t} + u \frac{\partial f(S)}{\partial x} = \varepsilon \frac{\partial^2 S}{\partial x^2}$$

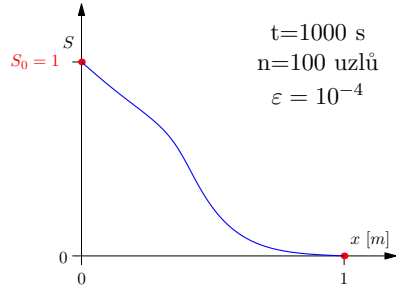
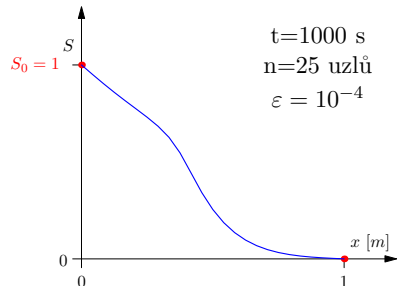
Aproximace derivace:

$$\frac{\partial f(S)}{\partial x} \approx \frac{df(\bar{S}_\ell^k)}{dS} \frac{S_{\ell+1}^k - S_{\ell-1}^k}{2h}$$

$$\frac{\partial^2 S}{\partial x^2} \approx \frac{S_{\ell+1}^k - 2S_\ell^k + S_{\ell-1}^k}{h^2}$$

(centrální diference + stabilizace)

ε ... umělá vazkost (malá)



Ukázková úloha: Pokus 2

Stabilizace pomocí umělé vazkosti:

$$\phi \frac{\partial S}{\partial t} + u \frac{\partial f(S)}{\partial x} = \varepsilon \frac{\partial^2 S}{\partial x^2}$$

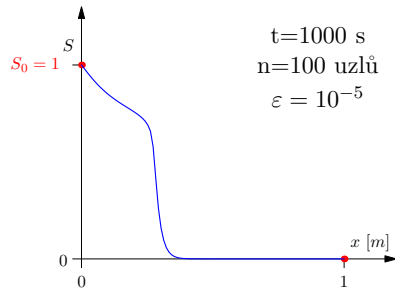
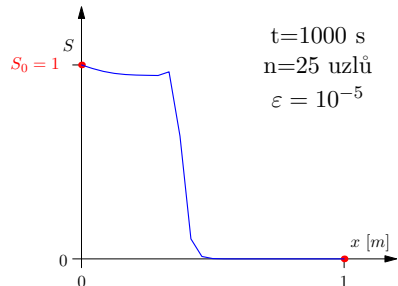
Aproximace derivace:

$$\frac{\partial f(S)}{\partial x} \approx \frac{df(\bar{S}_\ell^k)}{dS} \frac{S_{\ell+1}^k - S_{\ell-1}^k}{2h}$$

$$\frac{\partial^2 S}{\partial x^2} \approx \frac{S_{\ell+1}^k - 2S_\ell^k + S_{\ell-1}^k}{h^2}$$

(centrální diference + stabilizace)

$\varepsilon \dots$ umělá vazkost (malá)



Ukázková úloha: Pokus 2

Stabilizace pomocí umělé vazkosti:

$$\phi \frac{\partial S}{\partial t} + u \frac{\partial f(S)}{\partial x} = \varepsilon \frac{\partial^2 S}{\partial x^2}$$

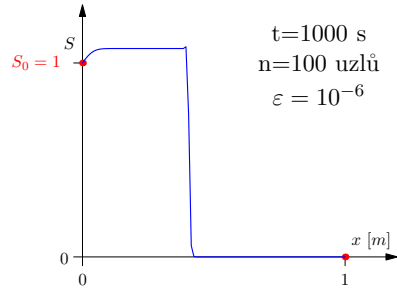
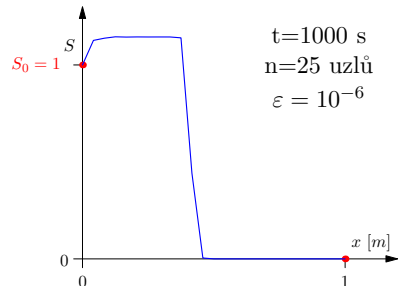
Aproximace derivace:

$$\frac{\partial f(S)}{\partial x} \approx \frac{df(\bar{S}_\ell^k)}{dS} \frac{S_{\ell+1}^k - S_{\ell-1}^k}{2h}$$

$$\frac{\partial^2 S}{\partial x^2} \approx \frac{S_{\ell+1}^k - 2S_\ell^k + S_{\ell-1}^k}{h^2}$$

(centrální diference + stabilizace)

$\varepsilon \dots$ umělá vazkost (malá)

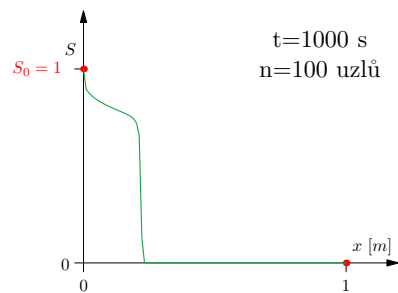
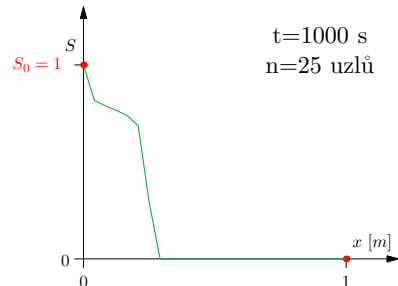


Ukázková úloha: Pokus 3

Aproximace derivace:

$$\frac{\partial f(S)}{\partial x} \approx \frac{df(\bar{S}_\ell^k)}{dS} \frac{S_\ell^k - S_{\ell-1}^k}{h}$$

(upwind difference)

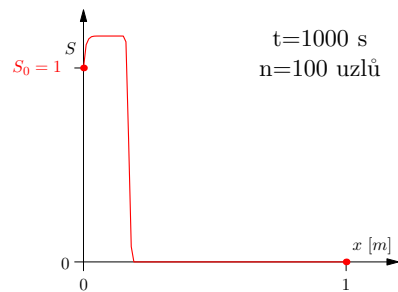
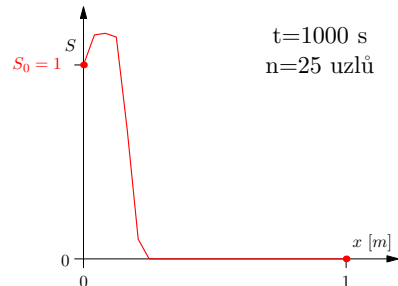


Ukázková úloha: Pokus 4

Aproximace derivace:

$$\frac{\partial f(S)}{\partial x} \approx \frac{f(S_{\ell+1}^k) - f(S_{\ell-1}^k)}{2h}$$

(centrální diference)



Ukázková úloha: Pokus 5

Vanishing viscosity stabilization:

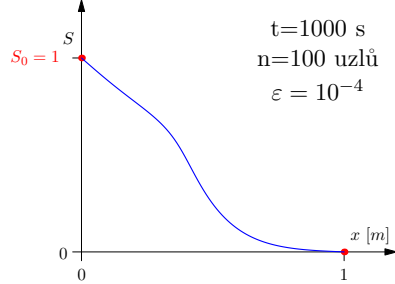
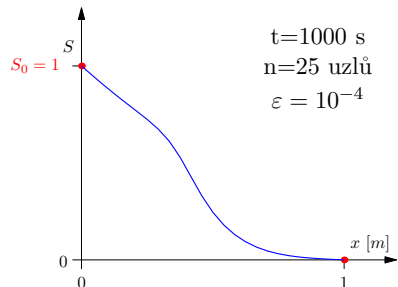
$$\phi \frac{\partial S}{\partial t} + u \frac{\partial f(S)}{\partial x} = \varepsilon \frac{\partial^2 S}{\partial x^2}$$

Aproximace derivace:

$$\frac{\partial f(S)}{\partial x} \approx \frac{f(S_{\ell+1}^k) - f(S_{\ell-1}^k)}{2h}$$

$$\frac{\partial^2 S}{\partial x^2} \approx \frac{S_{\ell+1}^k - 2S_\ell^k + S_{\ell-1}^k}{h^2}$$

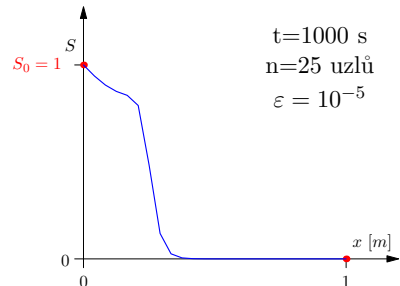
(centrální diference + stabilizace)



Ukázková úloha: Pokus 5

Vanishing viscosity stabilization:

$$\phi \frac{\partial S}{\partial t} + u \frac{\partial f(S)}{\partial x} = \varepsilon \frac{\partial^2 S}{\partial x^2}$$

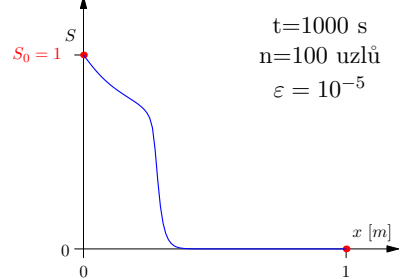


Aproximace derivace:

$$\frac{\partial f(S)}{\partial x} \approx \frac{f(S_{\ell+1}^k) - f(S_{\ell-1}^k)}{2h}$$

$$\frac{\partial^2 S}{\partial x^2} \approx \frac{S_{\ell+1}^k - 2S_\ell^k + S_{\ell-1}^k}{h^2}$$

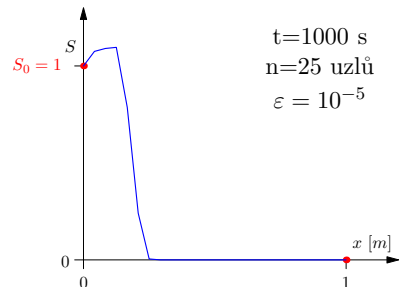
(centrální diference + stabilizace)



Ukázková úloha: Pokus 5

Vanishing viscosity stabilization:

$$\phi \frac{\partial S}{\partial t} + u \frac{\partial f(S)}{\partial x} = \varepsilon \frac{\partial^2 S}{\partial x^2}$$

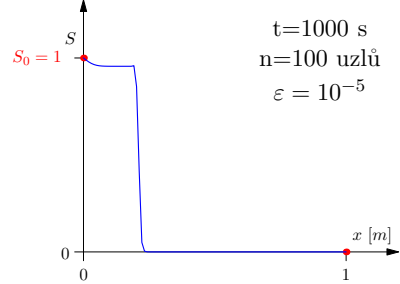


Aproximace derivace:

$$\frac{\partial f(S)}{\partial x} \approx \frac{f(S_{\ell+1}^k) - f(S_{\ell-1}^k)}{2h}$$

$$\frac{\partial^2 S}{\partial x^2} \approx \frac{S_{\ell+1}^k - 2S_\ell^k + S_{\ell-1}^k}{h^2}$$

(centrální diference + stabilizace)

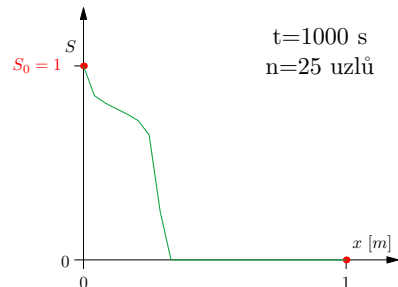


Ukázková úloha: Pokus 6

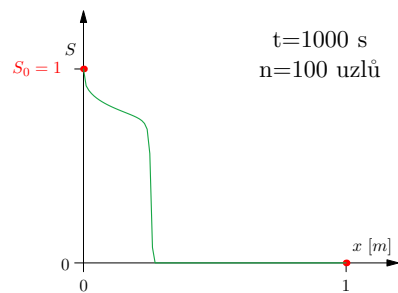
Aproximace derivace:

$$\frac{\partial f(S)}{\partial x} \approx \frac{f(S_\ell^k) - f(S_{\ell-1}^k)}{h}$$

(upwind difference)

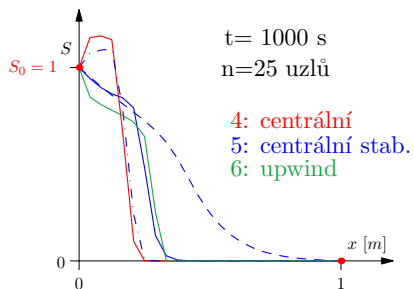
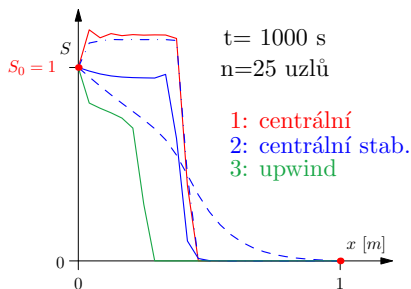


$t=1000$ s
 $n=25$ uzlů

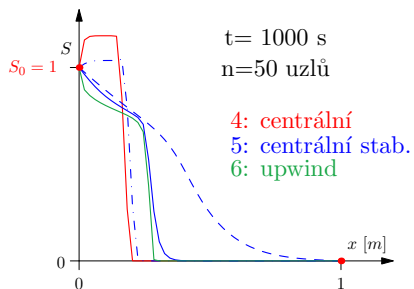
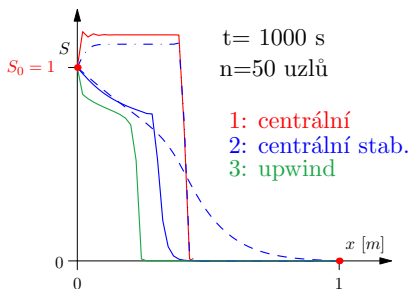


$t=1000$ s
 $n=100$ uzlů

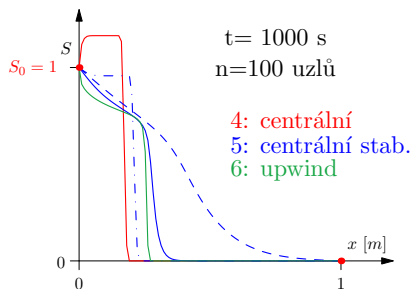
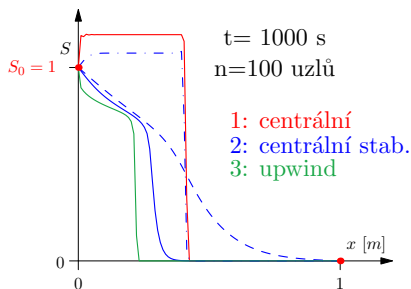
Ukázková úloha: Shrnutí



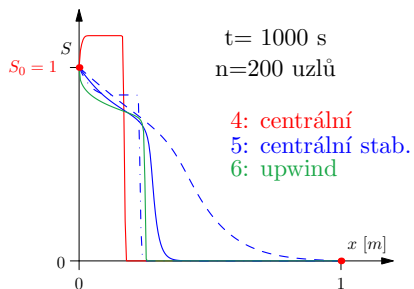
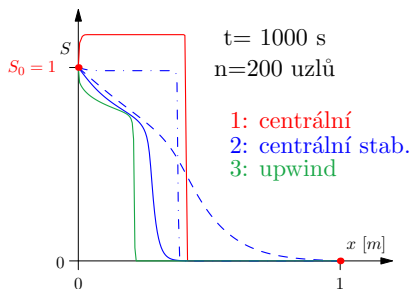
Ukázková úloha: Shrnutí



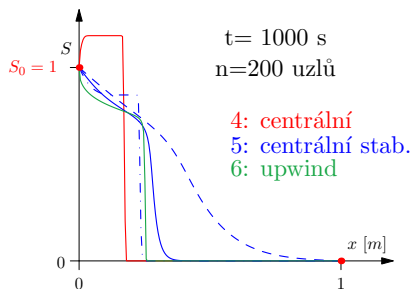
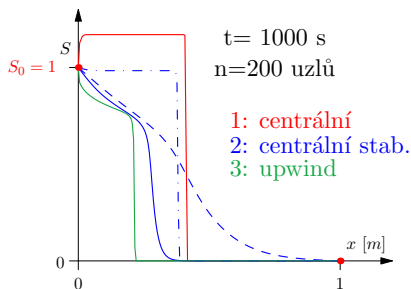
Ukázková úloha: Shrnutí



Ukázková úloha: Shrnutí



Ukázková úloha: Shrnutí



Co s tím?

Obsah

Matematické modelování

Proudění v porézním prostředí

Ukázková úloha dvoufázového proudění

Přehled přesných řešení

Přesné řešení v \mathbb{R}^d

Pachatelé

Přehled přesných řešení

Přesná řešení pro homogenní porézní prostředí:

1. S. E. Buckley a M. C. Leverett (1942)
2. D. B. McWhorter a D. K. Sunada (1990)
3. R. Fučík, T. H. Illangasekare, a M. Beneš (2016)

Přesná řešení pro heterogenní porézní prostředí:

4. C. J. van Duijn a M. J. de Neef (1996)
5. R. Fučík, J. Mikyška, M. Beneš, a T. H. Illangasekare (2008)

Přehled přesných řešení

Přesná řešení pro homogenní porézní prostředí:

1. S. E. Buckley a M. C. Leverett (1942)
2. D. B. McWhorter a D. K. Sunada (1990)
3. R. Fučík, T. H. Illangasekare, a M. Beneš (2016)

Přesná řešení pro heterogenní porézní prostředí:

4. C. J. van Duijn a M. J. de Neef (1996)
5. R. Fučík, J. Mikyška, M. Beneš, a T. H. Illangasekare (2008)

Buckleyho and Leverettovo analytické řešení

Rovnice v \mathbb{R}^1 :

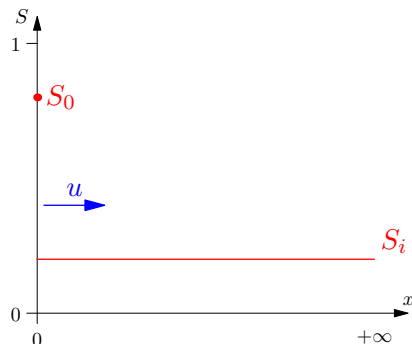
$$\phi \frac{\partial S}{\partial t} + u \frac{\partial f(S)}{\partial x} = 0$$

- jednorozměrná oblast
- homogenní porézní prostředí
- bez gravitace, bez kapilarity
- metoda charakteristik
- $u = u(t)$
- počáteční podmínka:

$$S(0, x) = S_i$$

- okrajová podmínka:

$$S(t, 0) = S_0$$



Buckleyho and Leverettovo analytické řešení

Rovnice v \mathbb{R}^1 :

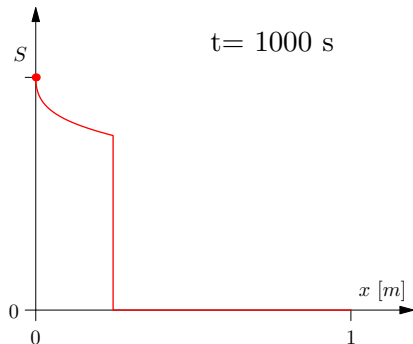
$$\phi \frac{\partial S}{\partial t} + u \frac{\partial f(S)}{\partial x} = 0$$

- jednorozměrná oblast
- homogenní porézní prostředí
- bez gravitace, bez kapilarity
- metoda charakteristik
- $u = u(t)$
- počáteční podmínka:

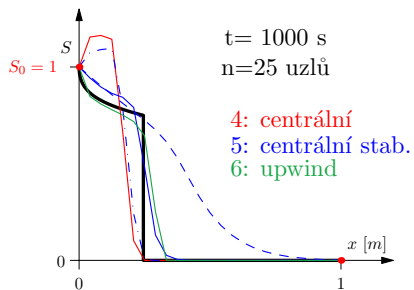
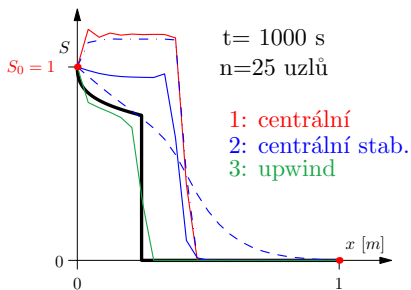
$$S(0, x) = S_i$$

- okrajová podmínka:

$$S(t, 0) = S_0$$

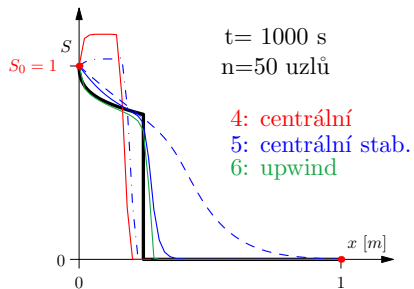
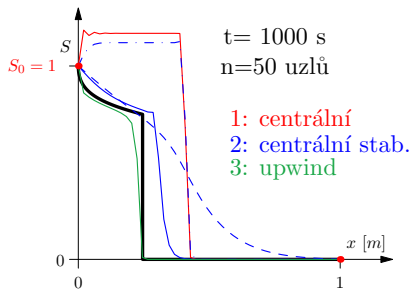


Buckley a Leverett: Ukázková úloha



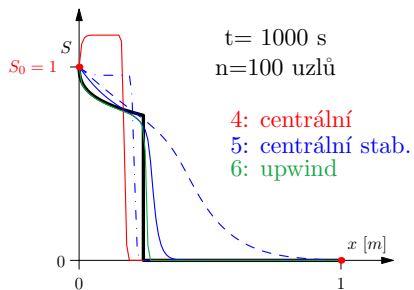
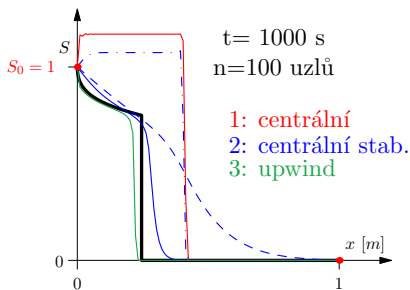
Numerické řešení vs. Buckleyho a Leverettovo analytické řešení (černě).

Buckley a Leverett: Ukázková úloha



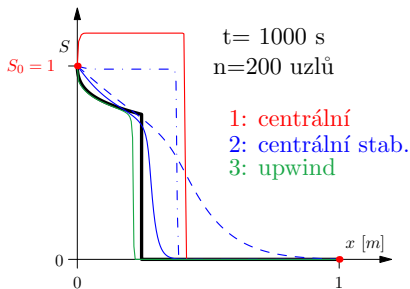
Numerické řešení vs. Buckleyho a Leverettovo analytické řešení (černě).

Buckley a Leverett: Ukázková úloha



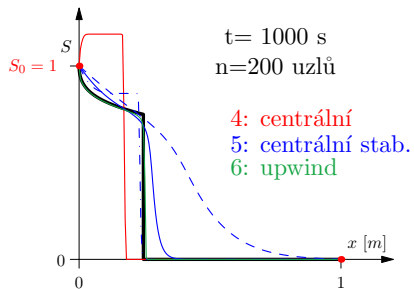
Numerické řešení vs. Buckleyho a Leverettovo analytické řešení (černě).

Buckley a Leverett: Ukázková úloha



$t = 1000 \text{ s}$
 $n = 200 \text{ uzlů}$

- 1: centrální
- 2: centrální stab.
- 3: upwind



$t = 1000 \text{ s}$
 $n = 200 \text{ uzlů}$

- 4: centrální
- 5: centrální stab.
- 6: upwind

Numerické řešení vs. Buckleyho a Leverettovo analytické řešení (černě).

Přehled přesných řešení

Přesná řešení pro homogenní porézní prostředí:

1. S. E. Buckley a M. C. Leverett (1942)
2. D. B. McWhorter a D. K. Sunada (1990)
3. R. Fučík, T. H. Illangasekare, a M. Beneš (2016)

Přesná řešení pro heterogenní porézní prostředí:

4. C. J. van Duijn a M. J. de Neef (1996)
5. R. Fučík, J. Mikyška, M. Beneš, a T. H. Illangasekare (2008)

McWhorterovo a Sunadovo řešení v \mathbb{R}^1

Rovnice v \mathbb{R}^1 :

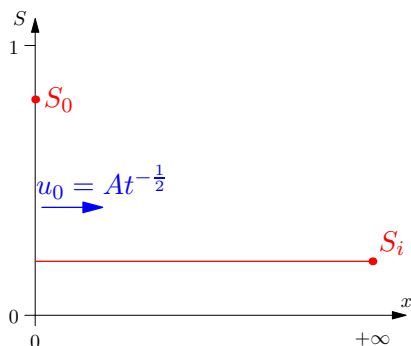
$$\phi \frac{\partial S}{\partial t} + u \frac{\partial f(S)}{\partial x} = \frac{\partial}{\partial x} \left(D(S) \frac{\partial S}{\partial x} \right)$$

- bez gravitace
- $D(S)$ funkce kapilární difúze
- $u = RAt^{-\frac{1}{2}}$
- $A = A(S_0)$, $R \in (-\infty, 1]^*$
- počáteční podmínka:

$$S(0, x) = S_i$$

- okrajové podmínky:

$$S(t, 0) = S_0, \quad S(t, +\infty) = S_i$$



*R. Fučík, J. Mikyška, T. H. Illangasekare, M. Beneš (2007)

McWhorterovo a Sunadovo řešení v \mathbb{R}^1

Rovnice v \mathbb{R}^1 :

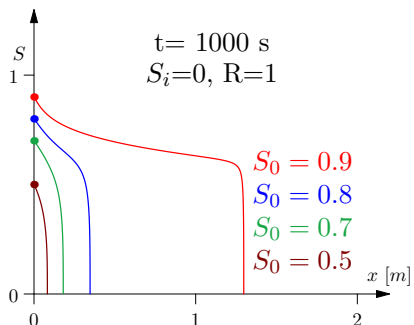
$$\phi \frac{\partial S}{\partial t} + u \frac{\partial f(S)}{\partial x} = \frac{\partial}{\partial x} \left(D(S) \frac{\partial S}{\partial x} \right)$$

- bez gravitace
- $D(S)$ funkce kapilární difúze
- $u = RAt^{-\frac{1}{2}}$
- $A = A(S_0)$, $R \in (-\infty, 1]^*$
- počáteční podmínka:

$$S(0, x) = S_i$$

- okrajové podmínky:

$$S(t, 0) = S_0, \quad S(t, +\infty) = S_i$$



*R. Fučík, J. Mikyška, T. H. Illangasekare, M. Beneš (2007)

McWhorterovo a Sunadovo řešení v \mathbb{R}^1

Rovnice v \mathbb{R}^1 :

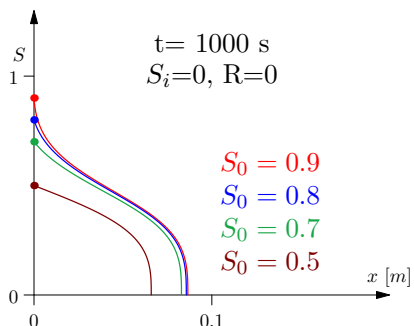
$$\phi \frac{\partial S}{\partial t} + u \frac{\partial f(S)}{\partial x} = \frac{\partial}{\partial x} \left(D(S) \frac{\partial S}{\partial x} \right)$$

- bez gravitace
- $D(S)$ funkce kapilární difúze
- $u = RAt^{-\frac{1}{2}}$
- $A = A(S_0)$, $R \in (-\infty, 1]^*$
- počáteční podmínka:

$$S(0, x) = S_i$$

- okrajové podmínky:

$$S(t, 0) = S_0, \quad S(t, +\infty) = S_i$$



*R. Fučík, J. Mikyška, T. H. Illangasekare, M. Beneš (2007)

McWhorterovo a Sunadovo řešení v \mathbb{R}^2

Rovnice v \mathbb{R}^2 (radiální proudění):

$$\phi \frac{\partial S}{\partial t} + \nabla \cdot (f(S)\vec{u} - D(S)\nabla S) = 0$$

- bez gravitace
- $D(S)$ funkce kapilární difúze
- konstantní vtláčení nesmáčivé fáze v $\vec{0}$
- konstantní \vec{u} (v radiálním směru)

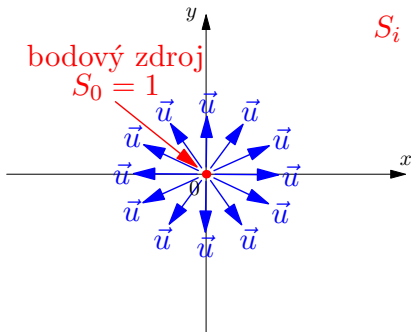
$$\|\vec{u}\| = A$$

- počáteční podmínka:

$$S(0, \vec{x}) = S_i$$

- okrajové podmínky:

$$S(t, \vec{0}) = 1, \quad S(t, \infty) = S_i$$



McWhorterovo a Sunadovo řešení v \mathbb{R}^2

Rovnice v \mathbb{R}^2 (radiální proudění):

$$\phi \frac{\partial S}{\partial t} + \nabla \cdot (f(S)\vec{u} - D(S)\nabla S) = 0$$

- bez gravitace
- $D(S)$ funkce kapilární difúze
- konstantní vtláčení nesmáčivé fáze v $\vec{0}$
- konstantní \vec{u} (v radiálním směru)

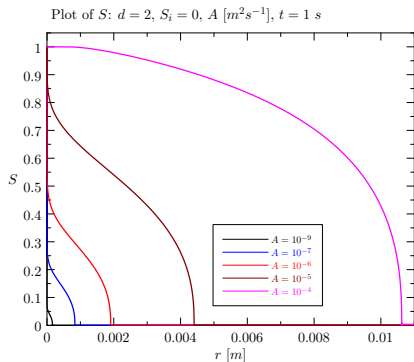
$$\|\vec{u}\| = A$$

- počáteční podmínka:

$$S(0, \vec{x}) = S_i$$

- okrajové podmínky:

$$S(t, \vec{0}) = 1, \quad S(t, \infty) = S_i$$



Obrázek: Různé hodnoty A .

McWhorterovo a Sunadovo řešení v \mathbb{R}^2

Rovnice v \mathbb{R}^2 (radiální proudění):

$$\phi \frac{\partial S}{\partial t} + \nabla \cdot (f(S)\vec{u} - D(S)\nabla S) = 0$$

- bez gravitace
- $D(S)$ funkce kapilární difúze
- konstantní vtláčení nesmáčivé fáze v $\vec{0}$
- konstantní \vec{u} (v radiálním směru)

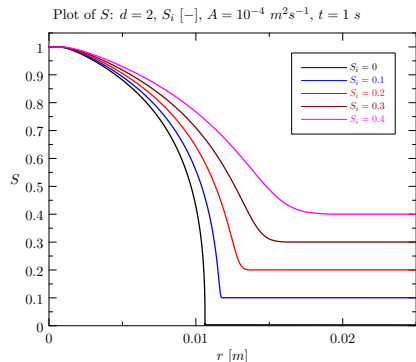
$$\|\vec{u}\| = A$$

- počáteční podmínka:

$$S(0, \vec{x}) = S_i$$

- okrajové podmínky:

$$S(t, \vec{0}) = 1, \quad S(t, \infty) = S_i$$



Obrázek: Různé poč. saturace S_i .

McWhorterovo a Sunadovo řešení v \mathbb{R}^2

Rovnice v \mathbb{R}^2 (radiální proudění):

$$\phi \frac{\partial S}{\partial t} + \nabla \cdot (f(S)\vec{u} - D(S)\nabla S) = 0$$

- bez gravitace
- $D(S)$ funkce kapilární difúze
- konstantní vtláčení nesmáčivé fáze v $\vec{0}$
- konstantní \vec{u} (v radiálním směru)

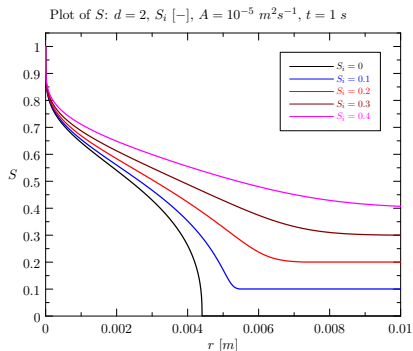
$$\|\vec{u}\| = A$$

- počáteční podmínka:

$$S(0, \vec{x}) = S_i$$

- okrajové podmínky:

$$S(t, \vec{0}) = 1, \quad S(t, \infty) = S_i$$



Obrázek: Různé poč. saturace S_i .

Přehled přesných řešení

Přesná řešení pro homogenní porézní prostředí:

1. S. E. Buckley a M. C. Leverett (1942)
2. D. B. McWhorter a D. K. Sunada (1990)
3. R. Fučík, T. H. Illangasekare, a M. Beneš (2016)

Přesná řešení pro heterogenní porézní prostředí:

4. C. J. van Duijn a M. J. de Neef (1996)
5. R. Fučík, J. Mikyška, M. Beneš, a T. H. Illangasekare (2008)

Fučík, Illangasekare a Beneš (2016)

Rovnice radiálního proudění v obecném d -rozměrném prostoru:

$$\phi \frac{\partial S}{\partial t} + \nabla \cdot (f(S)\vec{u} - D(S)\nabla S) = 0$$

- bez gravitace
- dimenze $d = 2, 3, 4, \dots$
- zobecnění McWhorterova a Sunadova řešení
- časová úměrnost vstupního toku:

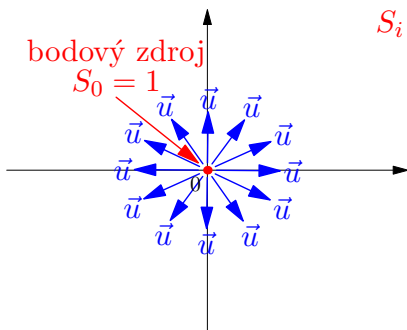
$$||\vec{u}(t, \vec{0})|| \propto At^{\frac{d-2}{2}}$$

- počáteční podmínka:

$$S(0, \vec{x}) = S_i$$

- okrajové podmínky:

$$S(t, \vec{0}) = 1, \quad S(t, \infty) = S_i$$



Obrázek: Ukázka oblasti v \mathbb{R}^2 .

Fučík, Illangasekare a Beneš (2016)

Rovnice radiálního proudění v obecném d -rozměrném prostoru:

$$\phi \frac{\partial S}{\partial t} + \nabla \cdot (f(S)\vec{u} - D(S)\nabla S) = 0$$

- bez gravitace
- dimenze $d = 2, 3, 4, \dots$
- zobecnění McWhorterova a Sunadova řešení
- časová úměrnost vstupního toku:

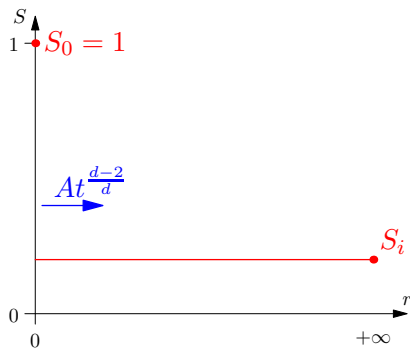
$$||\vec{u}(t, \vec{0})|| \propto At^{\frac{d-2}{2}}$$

- počáteční podmínka:

$$S(0, \vec{x}) = S_i$$

- okrajové podmínky:

$$S(t, \vec{0}) = 1, \quad S(t, \infty) = S_i$$



Obrázek: Radiální souřadnice.

Fučík, Illangasekare a Beneš (2016)

Rovnice radiálního proudění v obecném d -rozměrném prostoru:

$$\phi \frac{\partial S}{\partial t} + \nabla \cdot (f(S)\vec{u} - D(S)\nabla S) = 0$$

- bez gravitace
- dimenze $d = 2, 3, 4, \dots$
- zobecnění McWhorterova a Sunadova řešení
- časová úměrnost vstupního toku:

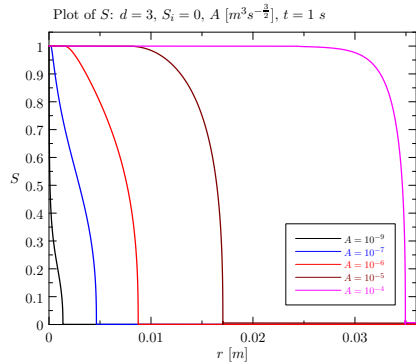
$$||\vec{u}(t, \vec{0})|| \propto At^{\frac{d-2}{2}}$$

- počáteční podmínka:

$$S(0, \vec{x}) = S_i$$

- okrajové podmínky:

$$S(t, \vec{0}) = 1, \quad S(t, \infty) = S_i$$



Obrázek: Různé hodnoty A .

Fučík, Illangasekare a Beneš (2016)

Rovnice radiálního proudění v obecném d -rozměrném prostoru:

$$\phi \frac{\partial S}{\partial t} + \nabla \cdot (f(S)\vec{u} - D(S)\nabla S) = 0$$

- bez gravitace
- dimenze $d = 2, 3, 4, \dots$
- zobecnění McWhorterova a Sunadova řešení
- časová úměrnost vstupního toku:

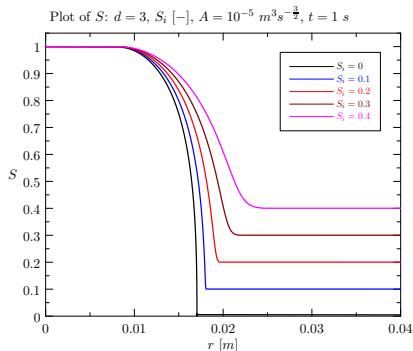
$$||\vec{u}(t, \vec{0})|| \propto At^{\frac{d-2}{2}}$$

- počáteční podmínka:

$$S(0, \vec{x}) = S_i$$

- okrajové podmínky:

$$S(t, \vec{0}) = 1, \quad S(t, \infty) = S_i$$



Obrázek: Různé poč. saturace S_i .

Fučík, Illangasekare a Beneš (2016)

Rovnice radiálního proudění v obecném d -rozměrném prostoru:

$$\phi \frac{\partial S}{\partial t} + \nabla \cdot (f(S)\vec{u} - D(S)\nabla S) = 0$$

- bez gravitace
- dimenze $d = 2, 3, 4, \dots$
- zobecnění McWhorterova a Sunadova řešení
- časová úměrnost vstupního toku:

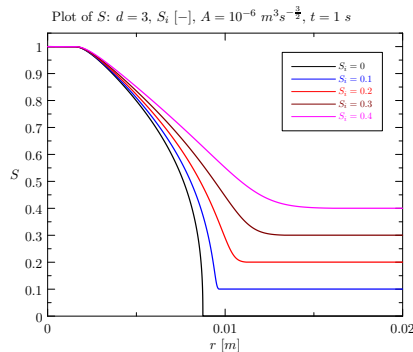
$$||\vec{u}(t, \vec{0})|| \propto At^{\frac{d-2}{2}}$$

- počáteční podmínka:

$$S(0, \vec{x}) = S_i$$

- okrajové podmínky:

$$S(t, \vec{0}) = 1, \quad S(t, \infty) = S_i$$



Obrázek: Různé poč. saturace S_i .

Fučík, Illangasekare a Beneš (2016)

Rovnice radiálního proudění v obecném d -rozměrném prostoru:

$$\phi \frac{\partial S}{\partial t} + \nabla \cdot (f(S)\vec{u} - D(S)\nabla S) = 0$$

- bez gravitace
- dimenze $d = 2, 3, 4, \dots$
- zobecnění McWhorterova a Sunadova řešení
- časová úměrnost vstupního toku:

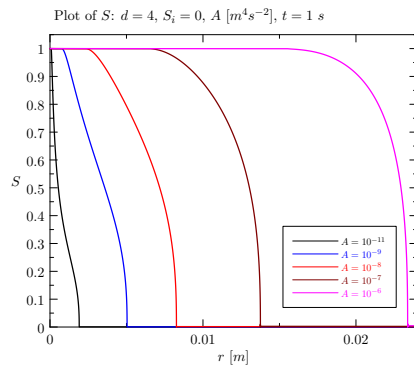
$$||\vec{u}(t, \vec{0})|| \propto At^{\frac{d-2}{2}}$$

- počáteční podmínka:

$$S(0, \vec{x}) = S_i$$

- okrajové podmínky:

$$S(t, \vec{0}) = 1, \quad S(t, \infty) = S_i$$



Obrázek: Různé injection rates A .

Fučík, Illangasekare a Beneš (2016)

Rovnice radiálního proudění v obecném d -rozměrném prostoru:

$$\phi \frac{\partial S}{\partial t} + \nabla \cdot (f(S)\vec{u} - D(S)\nabla S) = 0$$

- bez gravitace
- dimenze $d = 2, 3, 4, \dots$
- zobecnění McWhorterova a Sunadova řešení
- časová úměrnost vstupního toku:

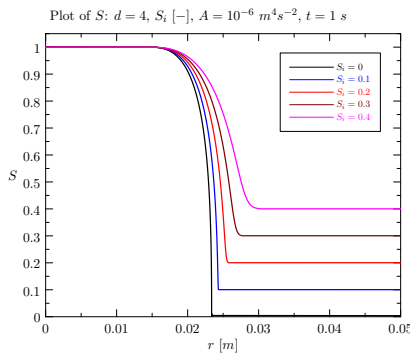
$$||\vec{u}(t, \vec{0})|| \propto At^{\frac{d-2}{2}}$$

- počáteční podmínka:

$$S(0, \vec{x}) = S_i$$

- okrajové podmínky:

$$S(t, \vec{0}) = 1, \quad S(t, \infty) = S_i$$



Obrázek: Různé poč. saturace S_i .

Fučík, Illangasekare a Beneš (2016)

Rovnice radiálního proudění v obecném d -rozměrném prostoru:

$$\phi \frac{\partial S}{\partial t} + \nabla \cdot (f(S)\vec{u} - D(S)\nabla S) = 0$$

- bez gravitace
- dimenze $d = 2, 3, 4, \dots$
- zobecnění McWhorterova a Sunadova řešení
- časová úměrnost vstupního toku:

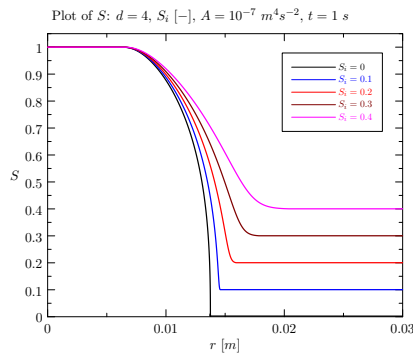
$$\|\vec{u}(t, \vec{0})\| \propto At^{\frac{d-2}{2}}$$

- počáteční podmínka:

$$S(0, \vec{x}) = S_i$$

- okrajové podmínky:

$$S(t, \vec{0}) = 1, \quad S(t, \infty) = S_i$$



Obrázek: Různé poč. saturace S_i .

Přehled přesných řešení

Přesná řešení pro homogenní porézní prostředí:

1. S. E. Buckley a M. C. Leverett (1942)
2. D. B. McWhorter a D. K. Sunada (1990)
3. R. Fučík, T. H. Illangasekare, a M. Beneš (2016)

Přesná řešení pro heterogenní porézní prostředí:

4. C. J. van Duijn a M. J. de Neef (1996)
5. R. Fučík, J. Mikyška, M. Beneš, a T. H. Illangasekare (2008)

van Duijntovo a de Neefovo přesné řešení

Rovnice v heterogenním porézním prostředí v \mathbb{R}^1 :

$$\phi \frac{\partial S}{\partial t} = \frac{\partial}{\partial x} \left(D(S) \frac{\partial S}{\partial x} \right)$$

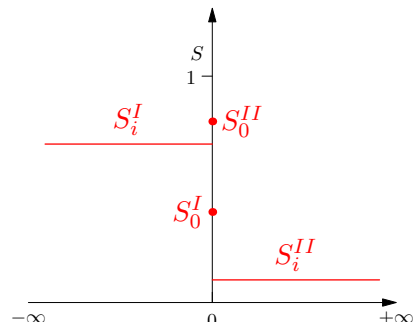
- bez gravitace, bez advekce
- materiálová nespojitost v $x = 0$
- $D(S)$ funkce kapilární difúze
- počáteční podmínky:

$$S(0, x) = S_i^I, \quad \text{pro } x < 0$$

$$S(0, x) = S_0^{II}, \quad \text{pro } x > 0$$

- okrajové podmínky:

$$S(t, -\infty) = S_i^I, \quad S(t, +\infty) = S_i^{II}$$



van Duijntovo a de Neefovo přesné řešení

Rovnice v heterogenním porézním prostředí v \mathbb{R}^1 :

$$\phi \frac{\partial S}{\partial t} = \frac{\partial}{\partial x} \left(D(S) \frac{\partial S}{\partial x} \right)$$

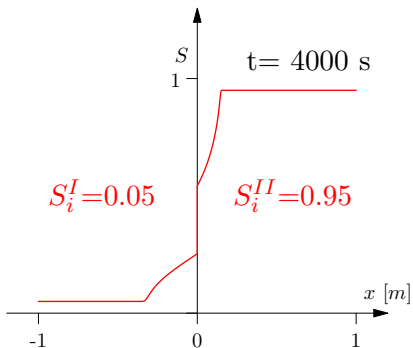
- bez gravitace, bez advekce
- materiálová nespojitost v $x = 0$
- $D(S)$ funkce kapilární difúze
- počáteční podmínky:

$$S(0, x) = S_i^I, \quad \text{pro } x < 0$$

$$S(0, x) = S_i^{II}, \quad \text{pro } x > 0$$

- okrajové podmínky:

$$S(t, -\infty) = S_i^I, \quad S(t, +\infty) = S_i^{II}$$



Přehled přesných řešení

Přesná řešení pro homogenní porézní prostředí:

1. S. E. Buckley a M. C. Leverett (1942)
2. D. B. McWhorter a D. K. Sunada (1990)
3. R. Fučík, T. H. Illangasekare, a M. Beneš (2016)

Přesná řešení pro heterogenní porézní prostředí:

4. C. J. van Duijn a M. J. de Neef (1996)
5. R. Fučík, J. Mikyška, M. Beneš, a T. H. Illangasekare (2008)

Fučík, Mikyška, Beneš, Illangasekare (2008)

Rovnice v heterogenním porézním prostředí v \mathbb{R}^1 :

$$\phi \frac{\partial S}{\partial t} + u \frac{\partial f(S)}{\partial x} = \frac{\partial}{\partial x} \left(D(S) \frac{\partial S}{\partial x} \right)$$

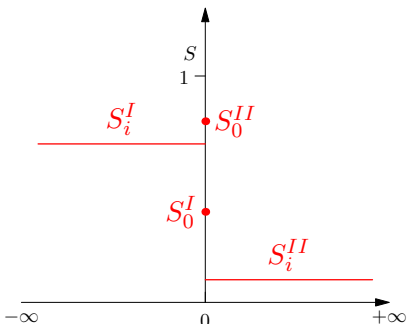
- bez gravitace
- materiálová nespojitost v $x = 0$
- $D(S)$ funkce kapilární difúze
- $u \propto Rt^{-\frac{1}{2}}$, $R \in (-\infty, 1)$
- počáteční podmínky:

$$S(0, x) = S_i^I, \quad \text{for } x < 0$$

$$S(0, x) = S_i^{II}, \quad \text{for } x > 0$$

- okrajové podmínky:

$$S(t, -\infty) = S_i^I, \quad S(t, +\infty) = S_i^{II}$$



Fučík, Mikyška, Beneš, Illangasekare (2008)

Rovnice v heterogenním porézním prostředí v \mathbb{R}^1 :

$$\phi \frac{\partial S}{\partial t} + u \frac{\partial f(S)}{\partial x} = \frac{\partial}{\partial x} \left(D(S) \frac{\partial S}{\partial x} \right)$$

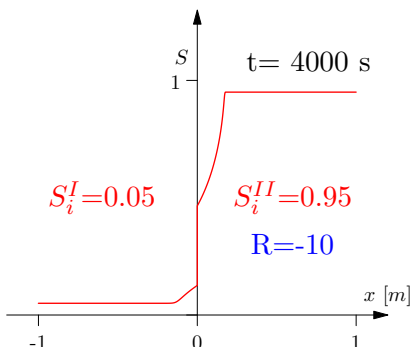
- bez gravitace
- materiálová nespojitost v $x = 0$
- $D(S)$ funkce kapilární difúze
- $u \propto Rt^{-\frac{1}{2}}$, $R \in (-\infty, 1)$
- počáteční podmínky:

$$S(0, x) = S_i^I, \quad \text{for } x < 0$$

$$S(0, x) = S_i^{II}, \quad \text{for } x > 0$$

- okrajové podmínky:

$$S(t, -\infty) = S_i^I, \quad S(t, +\infty) = S_i^{II}$$



Fučík, Mikyška, Beneš, Illangasekare (2008)

Rovnice v heterogenním porézním prostředí v \mathbb{R}^1 :

$$\phi \frac{\partial S}{\partial t} + u \frac{\partial f(S)}{\partial x} = \frac{\partial}{\partial x} \left(D(S) \frac{\partial S}{\partial x} \right)$$

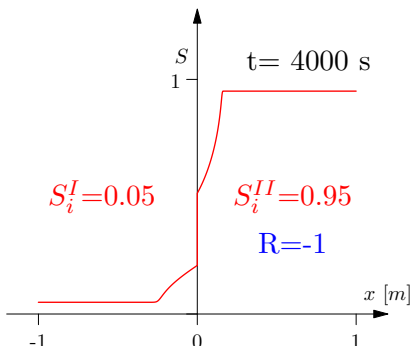
- bez gravitace
- materiálová nespojitost v $x = 0$
- $D(S)$ funkce kapilární difúze
- $u \propto Rt^{-\frac{1}{2}}$, $R \in (-\infty, 1)$
- počáteční podmínky:

$$S(0, x) = S_i^I, \quad \text{for } x < 0$$

$$S(0, x) = S_i^{II}, \quad \text{for } x > 0$$

- okrajové podmínky:

$$S(t, -\infty) = S_i^I, \quad S(t, +\infty) = S_i^{II}$$



Fučík, Mikyška, Beneš, Illangasekare (2008)

Rovnice v heterogenním porézním prostředí v \mathbb{R}^1 :

$$\phi \frac{\partial S}{\partial t} + u \frac{\partial f(S)}{\partial x} = \frac{\partial}{\partial x} \left(D(S) \frac{\partial S}{\partial x} \right)$$

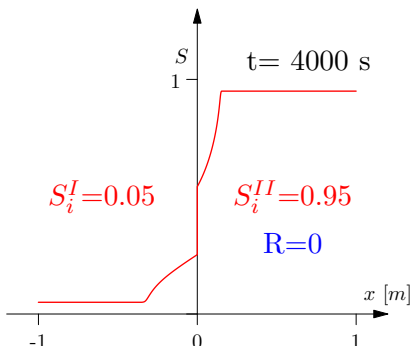
- bez gravitace
- materiálová nespojitost v $x = 0$
- $D(S)$ funkce kapilární difúze
- $u \propto Rt^{-\frac{1}{2}}$, $R \in (-\infty, 1)$
- počáteční podmínky:

$$S(0, x) = S_i^I, \quad \text{for } x < 0$$

$$S(0, x) = S_i^{II}, \quad \text{for } x > 0$$

- okrajové podmínky:

$$S(t, -\infty) = S_i^I, \quad S(t, +\infty) = S_i^{II}$$



Fučík, Mikyška, Beneš, Illangasekare (2008)

Rovnice v heterogenním porézním prostředí v \mathbb{R}^1 :

$$\phi \frac{\partial S}{\partial t} + u \frac{\partial f(S)}{\partial x} = \frac{\partial}{\partial x} \left(D(S) \frac{\partial S}{\partial x} \right)$$

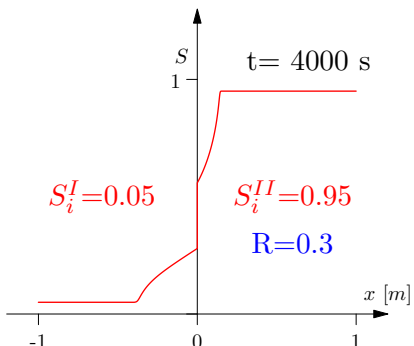
- bez gravitace
- materiálová nespojitost v $x = 0$
- $D(S)$ funkce kapilární difúze
- $u \propto Rt^{-\frac{1}{2}}$, $R \in (-\infty, 1)$
- počáteční podmínky:

$$S(0, x) = S_i^I, \quad \text{for } x < 0$$

$$S(0, x) = S_i^{II}, \quad \text{for } x > 0$$

- okrajové podmínky:

$$S(t, -\infty) = S_i^I, \quad S(t, +\infty) = S_i^{II}$$



Fučík, Mikyška, Beneš, Illangasekare (2008)

Rovnice v heterogenním porézním prostředí v \mathbb{R}^1 :

$$\phi \frac{\partial S}{\partial t} + u \frac{\partial f(S)}{\partial x} = \frac{\partial}{\partial x} \left(D(S) \frac{\partial S}{\partial x} \right)$$

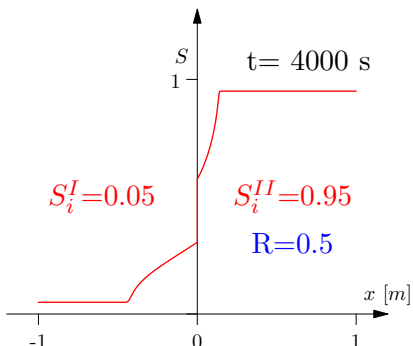
- bez gravitace
- materiálová nespojitost v $x = 0$
- $D(S)$ funkce kapilární difúze
- $u \propto Rt^{-\frac{1}{2}}$, $R \in (-\infty, 1)$
- počáteční podmínky:

$$S(0, x) = S_i^I, \quad \text{for } x < 0$$

$$S(0, x) = S_i^{II}, \quad \text{for } x > 0$$

- okrajové podmínky:

$$S(t, -\infty) = S_i^I, \quad S(t, +\infty) = S_i^{II}$$



Fučík, Mikyška, Beneš, Illangasekare (2008)

Rovnice v heterogenním porézním prostředí v \mathbb{R}^1 :

$$\phi \frac{\partial S}{\partial t} + u \frac{\partial f(S)}{\partial x} = \frac{\partial}{\partial x} \left(D(S) \frac{\partial S}{\partial x} \right)$$

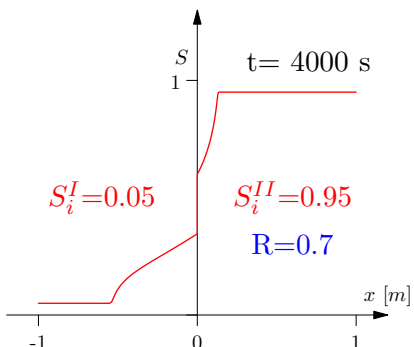
- bez gravitace
- materiálová nespojitost v $x = 0$
- $D(S)$ funkce kapilární difúze
- $u \propto Rt^{-\frac{1}{2}}$, $R \in (-\infty, 1)$
- počáteční podmínky:

$$S(0, x) = S_i^I, \quad \text{for } x < 0$$

$$S(0, x) = S_i^{II}, \quad \text{for } x > 0$$

- okrajové podmínky:

$$S(t, -\infty) = S_i^I, \quad S(t, +\infty) = S_i^{II}$$



Fučík, Mikyška, Beneš, Illangasekare (2008)

Rovnice v heterogenním porézním prostředí v \mathbb{R}^1 :

$$\phi \frac{\partial S}{\partial t} + u \frac{\partial f(S)}{\partial x} = \frac{\partial}{\partial x} \left(D(S) \frac{\partial S}{\partial x} \right)$$

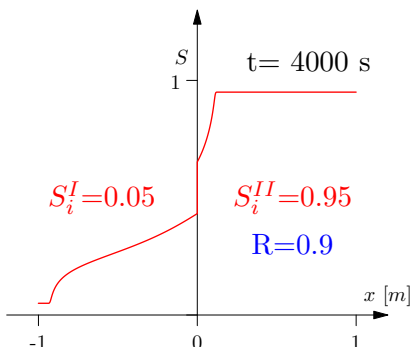
- bez gravitace
- materiálová nespojitost v $x = 0$
- $D(S)$ funkce kapilární difúze
- $u \propto Rt^{-\frac{1}{2}}$, $R \in (-\infty, 1)$
- počáteční podmínky:

$$S(0, x) = S_i^I, \quad \text{for } x < 0$$

$$S(0, x) = S_i^{II}, \quad \text{for } x > 0$$

- okrajové podmínky:

$$S(t, -\infty) = S_i^I, \quad S(t, +\infty) = S_i^{II}$$



Obsah

Matematické modelování

Proudění v porézním prostředí

Ukázková úloha dvoufázového proudění

Přehled přesných řešení

Přesné řešení v \mathbb{R}^d

Pachatelé

Rovnice dvoufázového proudění v \mathbb{R}^d (opět)

- Rovnice kontinuity pro fázi $\alpha = w, n$:

$$\frac{\partial(\phi\rho_\alpha S_\alpha)}{\partial t} + \nabla \cdot (\rho_\alpha \vec{v}_\alpha) = F_\alpha$$

- Darcyho zákon fázi $\alpha = w, n$:

$$\vec{v}_\alpha = -\lambda_\alpha \mathbf{K}(\nabla p_\alpha - \rho_\alpha \vec{g})$$

- Bilance saturace

$$S_w + S_n = 1$$

- Kapilární tlak

$$p_c = p_n - p_w = p_c(S_w)$$

Rovnice dvoufázového proudění v \mathbb{R}^d (opět)

- Rovnice kontinuity pro fázi $\alpha = w, n$:

$$\frac{\partial(\phi\rho_\alpha S_\alpha)}{\partial t} + \nabla \cdot (\rho_\alpha \vec{v}_\alpha) = F_\alpha$$

- Darcyho zákon fázi $\alpha = w, n$:

$$\vec{v}_\alpha = -\lambda_\alpha \mathbf{K}(\nabla p_\alpha - \rho_\alpha \vec{g})$$

- Bilance saturace

$$S_w + S_n = 1$$

- Kapilární tlak

$$p_c = p_n - p_w = p_c(S_w)$$

Úkol: Z těchto rovnic odvodte rovnice v \mathbb{R}^d :

$$\begin{aligned} \phi \frac{\partial S_w}{\partial t} + \nabla \cdot (f(S_w) \vec{v}_T - D(S_w) \nabla S_w) &= 0, \\ \nabla \cdot \vec{v}_T &= 0. \end{aligned}$$

Formulace úlohy v \mathbb{R}^d

Úkol: Odvodte rovnice v \mathbb{R}^d :

$$\phi \frac{\partial S_w}{\partial t} + \nabla \cdot (f(S_w) \vec{v}_T - D(S_w) \nabla S_w) = 0,$$
$$\nabla \cdot \vec{v}_T = 0.$$

Stáhněte si tuto prezentaci zde:

<http://mmg.fjfi.cvut.cz/~fucik/ssm>

Formulace úlohy v \mathbb{R}^d

Úkol: Odvodte rovnice v \mathbb{R}^d :

$$\phi \frac{\partial S_w}{\partial t} + \nabla \cdot (f(S_w) \vec{v}_T - D(S_w) \nabla S_w) = 0,$$
$$\nabla \cdot \vec{v}_T = 0.$$

Stáhněte si tuto prezentaci zde:

<http://mmg.fjfi.cvut.cz/~fucik/ssm>

Poznámky:

Formulace úlohy v \mathbb{R}^d

Úkol: Odvodte rovnice v \mathbb{R}^d :

$$\phi \frac{\partial S_w}{\partial t} + \nabla \cdot (f(S_w) \vec{v}_T - D(S_w) \nabla S_w) = 0,$$
$$\nabla \cdot \vec{v}_T = 0.$$

Stáhněte si tuto prezentaci zde:

<http://mmg.fjfi.cvut.cz/~fucik/ssm>

Poznámky:

- bez gravitace: $\vec{g} = \vec{0}$

Formulace úlohy v \mathbb{R}^d

Úkol: Odvodte rovnice v \mathbb{R}^d :

$$\phi \frac{\partial S_w}{\partial t} + \nabla \cdot (f(S_w) \vec{v}_T - D(S_w) \nabla S_w) = 0,$$
$$\nabla \cdot \vec{v}_T = 0.$$

Stáhněte si tuto prezentaci zde:

<http://mmg.fjfi.cvut.cz/~fucik/ssm>

Poznámky:

- bez gravitace: $\vec{g} = \vec{0}$
- nestlačitelné: $\rho_\alpha = \text{konst}$

Formulace úlohy v \mathbb{R}^d

Úkol: Odvodte rovnice v \mathbb{R}^d :

$$\phi \frac{\partial S_w}{\partial t} + \nabla \cdot (f(S_w) \vec{v}_T - D(S_w) \nabla S_w) = 0,$$
$$\nabla \cdot \vec{v}_T = 0.$$

Stáhněte si tuto prezentaci zde:

<http://mmg.fjfi.cvut.cz/~fucik/ssm>

Poznámky:

- bez gravitace: $\vec{g} = \vec{0}$
- nestlačitelné: $\rho_\alpha = \text{konst}$
- totální rychlosť: $\vec{v}_T = \vec{v}_w + \vec{v}_n$

Formulace úlohy v \mathbb{R}^d

Úkol: Odvodte rovnice v \mathbb{R}^d :

$$\phi \frac{\partial S_w}{\partial t} + \nabla \cdot (f(S_w) \vec{v}_T - D(S_w) \nabla S_w) = 0,$$
$$\nabla \cdot \vec{v}_T = 0.$$

Stáhněte si tuto prezentaci zde:

<http://mmg.fjfi.cvut.cz/~fucik/ssm>

Poznámky:

- bez gravitace: $\vec{g} = \vec{0}$
- nestlačitelné: $\rho_\alpha = \text{konst}$
- totální rychlosť: $\vec{v}_T = \vec{v}_w + \vec{v}_n$
- izotropní prostředí: $\mathbf{K} = K\mathbf{I}$

Formulace úlohy v \mathbb{R}^d

Úkol: Odvodte rovnice v \mathbb{R}^d :

$$\phi \frac{\partial S_w}{\partial t} + \nabla \cdot (f(S_w) \vec{v}_T - D(S_w) \nabla S_w) = 0,$$

$$\nabla \cdot \vec{v}_T = 0.$$

Stáhněte si tuto prezentaci zde:

<http://mmg.fjfi.cvut.cz/~fucik/ssm>

Poznámky:

- bez gravitace: $\vec{g} = \vec{0}$
- nestlačitelné: $\rho_\alpha = \text{konst}$
- totální rychlosť: $\vec{v}_T = \vec{v}_w + \vec{v}_n$
- izotropní prostředí: $\mathbf{K} = K \mathbf{I}$
- frakční toková funkce: $f = \frac{\lambda_w}{\lambda_w + \lambda_n}$

Formulace úlohy v \mathbb{R}^d

Úkol: Odvodte rovnice v \mathbb{R}^d :

$$\phi \frac{\partial S_w}{\partial t} + \nabla \cdot (f(S_w) \vec{v}_T - D(S_w) \nabla S_w) = 0,$$

$$\nabla \cdot \vec{v}_T = 0.$$

Stáhněte si tuto prezentaci zde:

<http://mmg.fjfi.cvut.cz/~fucik/ssm>

Poznámky:

- bez gravitace: $\vec{g} = \vec{0}$
- nestlačitelné: $\rho_\alpha = \text{konst}$
- totální rychlosť: $\vec{v}_T = \vec{v}_w + \vec{v}_n$
- izotropní prostředí: $\mathbf{K} = K \mathbf{I}$
- frakční toková funkce: $f = \frac{\lambda_w}{\lambda_w + \lambda_n}$
- funkce kapilární difúze: $D = -K \frac{\lambda_w \lambda_n}{\lambda_w + \lambda_n} \frac{dp_c}{dS_w}$

Sférická transformace rovnic v \mathbb{R}^d : 1/3

Rovnice

$$\phi \frac{\partial S_w}{\partial t} + \nabla \cdot (f(S_w) \vec{v}_T - D(S_w) \nabla S_w) = 0,$$
$$\nabla \cdot \vec{v}_T = 0,$$

za předpokladu symetrie řešení dle počátku $\vec{0}$:

$$S_w = S_w(t, r), \quad \vec{v}_T = \vec{v}_T(t, r),$$

transformujeme do obecných sférických souřadnicích v \mathbb{R}^d

Sférická transformace rovnic v \mathbb{R}^d : 1/3

Rovnice

$$\phi \frac{\partial S_w}{\partial t} + \nabla \cdot (f(S_w) \vec{v}_T - D(S_w) \nabla S_w) = 0,$$
$$\nabla \cdot \vec{v}_T = 0,$$

za předpokladu symetrie řešení dle počátku $\vec{0}$:

$$S_w = S_w(t, r), \quad \vec{v}_T = \vec{v}_T(t, r),$$

transformujeme do obecných sférických souřadnicích v \mathbb{R}^d

(viz cvičení MAA4)

Sférická transformace rovnic v \mathbb{R}^d : 1/3

Rovnice

$$\phi \frac{\partial S_w}{\partial t} + \nabla \cdot (f(S_w) \vec{v}_T - D(S_w) \nabla S_w) = 0,$$

$$\nabla \cdot \vec{v}_T = 0,$$

za předpokladu symetrie řešení dle počátku $\vec{0}$:

$$S_w = S_w(t, r), \quad \vec{v}_T = \vec{v}_T(t, r),$$

transformujeme do obecných sférických souřadnicích v \mathbb{R}^d

(viz cvičení MAA4)

Okrajové podmínky:

$$S_w(t, 0) = 1, \quad S_w(t, +\infty) = S_i.$$

Sférická transformace rovnic v \mathbb{R}^d : 1/3

Rovnice

$$\phi \frac{\partial S_w}{\partial t} + \nabla \cdot (f(S_w) \vec{v}_T - D(S_w) \nabla S_w) = 0,$$

$$\nabla \cdot \vec{v}_T = 0,$$

za předpokladu symetrie řešení dle počátku $\vec{0}$:

$$S_w = S_w(t, r), \quad \vec{v}_T = \vec{v}_T(t, r),$$

transformujeme do obecných sférických souřadnicích v \mathbb{R}^d

(viz cvičení MAA4)

Okrajové podmínky:

$$S_w(t, 0) = 1, \quad S_w(t, +\infty) = S_i.$$

Počáteční podmínka:

$$S_w(0, r) = S_i.$$

Sférická transformace rovnic v \mathbb{R}^d : 2/3

Řešení rovnice

$$\nabla \cdot \vec{v}_T = 0,$$

Sférická transformace rovnic v \mathbb{R}^d : 2/3

Řešení rovnice

$$\nabla \cdot \vec{v}_T = 0,$$

ve sférických souřadnicích lze najít ve tvaru

$$\vec{v}_T(t, r) = \frac{Q_0(t)}{\gamma_d r^{d-1}} \vec{r},$$

Sférická transformace rovnic v \mathbb{R}^d : 2/3

Řešení rovnice

$$\nabla \cdot \vec{v}_T = 0,$$

ve sférických souřadnicích lze najít ve tvaru

$$\vec{v}_T(t, r) = \frac{Q_0(t)}{\gamma_d r^{d-1}} \vec{r},$$

kde

- Q_0 je koeficient rychlosti vtoku

Sférická transformace rovnic v \mathbb{R}^d : 2/3

Řešení rovnice

$$\nabla \cdot \vec{v}_T = 0,$$

ve sférických souřadnicích lze najít ve tvaru

$$\vec{v}_T(t, r) = \frac{Q_0(t)}{\gamma_d r^{d-1}} \vec{r},$$

kde

- Q_0 je koeficient rychlosti vtoku
- $\gamma_d \dots$ povrch jednotkové koule v \mathbb{R}^d :

$$\gamma_d = \frac{d\pi^{\frac{d}{2}}}{\Gamma\left(\frac{d}{2} + 1\right)}$$

Sférická transformace rovnic v \mathbb{R}^d : 2/3

Řešení rovnice

$$\nabla \cdot \vec{v}_T = 0,$$

ve sférických souřadnicích lze najít ve tvaru

$$\vec{v}_T(t, r) = \frac{Q_0(t)}{\gamma_d r^{d-1}} \vec{\iota},$$

kde

- Q_0 je koeficient rychlosti vtoku
- $\gamma_d \dots$ povrch jednotkové koule v \mathbb{R}^d :

$$\gamma_d = \frac{d\pi^{\frac{d}{2}}}{\Gamma(\frac{d}{2} + 1)}$$

- $\vec{\iota} \dots$ jednotkový vektor v kladném radiálním směru

Sférická transformace rovnic v \mathbb{R}^d : 3/3

Hlavní rovnice pro $S_w = S_w(t, r)$:

$$\gamma_d r^{d-1} \phi \frac{\partial S_w}{\partial t} + (1 - f(S_i)) Q_0 \frac{\partial F}{\partial r} = 0$$

Sférická transformace rovnic v \mathbb{R}^d : 3/3

Hlavní rovnice pro $S_w = S_w(t, r)$:

$$\gamma_d r^{d-1} \phi \frac{\partial S_w}{\partial t} + (1 - f(S_i)) Q_0 \frac{\partial F}{\partial r} = 0$$

- funkce $F = F(t, r)$

$$F = \frac{\frac{Q_w}{Q_0} - f(S_i)}{1 - f(S_i)}$$

Sférická transformace rovnic v \mathbb{R}^d : 3/3

Hlavní rovnice pro $S_w = S_w(t, r)$:

$$\gamma_d r^{d-1} \phi \frac{\partial S_w}{\partial t} + (1 - f(S_i)) Q_0 \frac{\partial F}{\partial r} = 0$$

- funkce $F = F(t, r)$

$$F = \frac{\frac{Q_w}{Q_0} - f(S_i)}{1 - f(S_i)}$$

- funkce $Q_w = Q_w(t, r)$:

$$Q_w = \gamma_d r^{d-1} v_w$$

Sférická transformace rovnic v \mathbb{R}^d : 3/3

Hlavní rovnice pro $S_w = S_w(t, r)$:

$$\gamma_d r^{d-1} \phi \frac{\partial S_w}{\partial t} + (1 - f(S_i)) Q_0 \frac{\partial F}{\partial r} = 0$$

- funkce $F = F(t, r)$

$$F = \frac{\frac{Q_w}{Q_0} - f(S_i)}{1 - f(S_i)}$$

- funkce $Q_w = Q_w(t, r)$:

$$Q_w = \gamma_d r^{d-1} v_w$$

- funkce $F_w = F_w(S_w)$... normalizovaná funkce f :

$$F_w(S_w) = \frac{f(S_w) - f(S_i)}{1 - f(S_i)}$$

Sférická transformace rovnic v \mathbb{R}^d : 3/3

Hlavní rovnice pro $S_w = S_w(t, r)$:

$$\gamma_d r^{d-1} \phi \frac{\partial S_w}{\partial t} + (1 - f(S_i)) Q_0 \frac{\partial F}{\partial r} = 0$$

- funkce $F = F(t, r)$

$$F = \frac{\frac{Q_w}{Q_0} - f(S_i)}{1 - f(S_i)}$$

- funkce $Q_w = Q_w(t, r)$:

$$Q_w = \gamma_d r^{d-1} v_w$$

- funkce $F_w = F_w(S_w)$... normalizovaná funkce f :

$$F_w(S_w) = \frac{f(S_w) - f(S_i)}{1 - f(S_i)}$$

Sférická transformace rovnic v \mathbb{R}^d : 3/3

Hlavní rovnice pro $S_w = S_w(t, r)$:

$$\gamma_d r^{d-1} \phi \frac{\partial S_w}{\partial t} + (1 - f(S_i)) Q_0 \frac{\partial F}{\partial r} = 0$$

- funkce $F = F(t, r)$

$$F = \frac{\frac{Q_w}{Q_0} - f(S_i)}{1 - f(S_i)} = F_w - \frac{\gamma_d r^{d-1}}{(1 - f(S_i)) Q_0} D \frac{\partial S_w}{\partial r}$$

- funkce $Q_w = Q_w(t, r)$:

$$Q_w = \gamma_d r^{d-1} v_w$$

- funkce $F_w = F_w(S_w)$... normalizovaná funkce f :

$$F_w(S_w) = \frac{f(S_w) - f(S_i)}{1 - f(S_i)}$$

Sférická transformace rovnic v \mathbb{R}^d : 3/3

Hlavní rovnice pro $S_w = S_w(t, r)$:

$$\gamma_d r^{d-1} \phi \frac{\partial S_w}{\partial t} + (1 - f(S_i)) Q_0 \frac{\partial F}{\partial r} = 0$$

- funkce $F = F(t, r)$

$$F = \frac{\frac{Q_w}{Q_0} - f(S_i)}{1 - f(S_i)} = F_w - \frac{\gamma_d r^{d-1}}{(1 - f(S_i)) Q_0} D \frac{\partial S_w}{\partial r}$$

- funkce $Q_w = Q_w(t, r)$:

$$Q_w = \gamma_d r^{d-1} v_w = f Q_0 - \gamma_d r^{d-1} D \frac{\partial S_w}{\partial r},$$

- funkce $F_w = F_w(S_w)$... normalizovaná funkce f :

$$F_w(S_w) = \frac{f(S_w) - f(S_i)}{1 - f(S_i)}$$

Soběpodobná transformace proměnných

Hlavní rovnice pro $S_w = S_w(t, r)$:

$$\gamma_d r^{d-1} \phi \frac{\partial S_w(t, r)}{\partial t} + (1 - f(S_i)) Q_0(t) \frac{\partial F(t, r)}{\partial r} = 0. \quad (1)$$

Soběpodobná transformace proměnných

Hlavní rovnice pro $S_w = S_w(t, r)$:

$$\gamma_d r^{d-1} \phi \frac{\partial S_w(t, r)}{\partial t} + (1 - f(S_i)) Q_0(t) \frac{\partial F(t, r)}{\partial r} = 0. \quad (1)$$

Pokud

$$Q_0(t) = A t^{\frac{d-2}{2}},$$

Soběpodobná transformace proměnných

Hlavní rovnice pro $S_w = S_w(t, r)$:

$$\gamma_d r^{d-1} \phi \frac{\partial S_w(t, r)}{\partial t} + (1 - f(S_i)) Q_0(t) \frac{\partial F(t, r)}{\partial r} = 0. \quad (1)$$

Pokud

$$Q_0(t) = A t^{\frac{d-2}{2}},$$

lze pomocí transformace proměnných $\lambda(S_w) = rt^{-\frac{1}{2}}$ převést rovnici (1) na obyčejnou diferenciální rovnici pro $F = F(S_w)$

$$F'' (F')^{\frac{2}{d}-2} = -A^{-\frac{2}{d}} \frac{C_d D}{F - F_w}$$

Soběpodobná transformace proměnných

Hlavní rovnice pro $S_w = S_w(t, r)$:

$$\gamma_d r^{d-1} \phi \frac{\partial S_w(t, r)}{\partial t} + (1 - f(S_i)) Q_0(t) \frac{\partial F(t, r)}{\partial r} = 0. \quad (1)$$

Pokud

$$Q_0(t) = A t^{\frac{d-2}{2}},$$

lze pomocí transformace proměnných $\lambda(S_w) = rt^{-\frac{1}{2}}$ převést rovnici (1) na obyčejnou diferenciální rovnici pro $F = F(S_w)$

$$F'' (F')^{\frac{2}{d}-2} = -A^{-\frac{2}{d}} \frac{C_d D}{F - F_w}$$

s okrajovými podmínkami

$$F(S_i) = 0,$$

$$F(S_0) = 1.$$

Soběpodobná transformace proměnných

Hlavní rovnice pro $S_w = S_w(t, r)$:

$$\gamma_d r^{d-1} \phi \frac{\partial S_w(t, r)}{\partial t} + (1 - f(S_i)) Q_0(t) \frac{\partial F(t, r)}{\partial r} = 0. \quad (1)$$

Pokud

$$Q_0(t) = A t^{\frac{d-2}{2}},$$

lze pomocí transformace proměnných $\lambda(S_w) = rt^{-\frac{1}{2}}$ převést rovnici (1) na obyčejnou diferenciální rovnici pro $F = F(S_w)$

$$F'' (F')^{\frac{2}{d}-2} = -A^{-\frac{2}{d}} \frac{C_d D}{F - F_w}$$

s okrajovými podmínkami

$$F(S_i) = 0, \quad F(S_0) = 1.$$

- $C_d = d \left(\frac{\gamma_d}{1-f(S_i)} \right)^{\frac{2}{d}} \left(\frac{\phi}{2} \right)^{\frac{2}{d}-1} \dots$ konstanta.

Integrální řešení: 1/2

Integrální řešení obyčejné diferenciální rovnice

$$F'' (F')^{\frac{2}{d}-2} = -A^{-\frac{2}{d}} \frac{C_d D}{F - F_w}$$

Integrální řešení: 1/2

Integrální řešení obyčejné diferenciální rovnice

$$F'' (F')^{\frac{2}{d}-2} = -A^{-\frac{2}{d}} \frac{C_d D}{F - F_w}$$

- pro $d = 1$ a $d = 2$: McWhorter a Sunada (1990), Fučík et al. (2007)

Integrální řešení: 1/2

Integrální řešení obyčejné diferenciální rovnice

$$F'' (F')^{\frac{2}{d}-2} = -A^{-\frac{2}{d}} \frac{C_d D}{F - F_w}$$

- pro $d = 1$ a $d = 2$: McWhorter a Sunada (1990), Fučík et al. (2007)
- pro $d \geq 3$: Fučík, Illangasekare a Beneš (2016):

Integrální řešení: 1/2

Integrální řešení obyčejné diferenciální rovnice

$$F''(F')^{\frac{2}{d}-2} = -A^{-\frac{2}{d}} \frac{C_d D}{F - F_w}$$

- pro $d = 1$ a $d = 2$: McWhorter a Sunada (1990), Fučík et al. (2007)
- pro $d \geq 3$: Fučík, Illangasekare a Beneš (2016):

$$F(S_w) = \int_{S_i}^{S_w} \left[(F'(S_i^+))^{\frac{2-d}{d}} + \frac{d-2}{d} C_d A^{-\frac{2}{d}} \int_{S_i}^{\beta} \frac{D(\eta)}{F(\eta) - F_w(\eta)} d\eta \right]^{\frac{d}{2-d}} d\beta,$$

Integrální řešení: 1/2

Integrální řešení obyčejné diferenciální rovnice

$$F''(F')^{\frac{2}{d}-2} = -A^{-\frac{2}{d}} \frac{C_d D}{F - F_w}$$

- pro $d = 1$ a $d = 2$: McWhorter a Sunada (1990), Fučík et al. (2007)
- pro $d \geq 3$: Fučík, Illangasekare a Beneš (2016):

$$F(S_w) = \int_{S_i}^{S_w} \left[(F'(S_i^+))^{\frac{2-d}{d}} + \frac{d-2}{d} C_d A^{-\frac{2}{d}} \int_{S_i}^{\beta} \frac{D(\eta)}{F(\eta) - F_w(\eta)} d\eta \right]^{\frac{d}{2-d}} d\beta,$$

s podmínkou/rovnicí pro neznámou hodnotu $F'(S_i^+)$:

$$1 = \int_{S_i}^{S_0} \left[(F'(S_i^+))^{\frac{2-d}{d}} + \frac{d-2}{d} C_d A^{-\frac{2}{d}} \int_{S_i}^{\beta} \frac{D(\eta)}{F(\eta) - F_w(\eta)} d\eta \right]^{\frac{d}{2-d}} d\beta.$$

Integrální řešení: 2/2

- pro $d \geq 3$: Fučík, Illangasekare a Beneš (2016):

$$F(S_w) = \int_{S_i}^{S_w} \left[\left(F'(S_i^+) \right)^{\frac{2-d}{d}} + \frac{d-2}{d} C_d A^{-\frac{2}{d}} \int_{S_i}^{\beta} \frac{D(\eta)}{F(\eta) - F_w(\eta)} d\eta \right]^{\frac{d}{2-d}} d\beta,$$

s podmínkou/rovnicí pro neznámou hodnotu $F'(S_i^+)$:

$$1 = \int_{S_i}^{S_0} \left[\left(F'(S_i^+) \right)^{\frac{2-d}{d}} + \frac{d-2}{d} C_d A^{-\frac{2}{d}} \int_{S_i}^{\beta} \frac{D(\eta)}{F(\eta) - F_w(\eta)} d\eta \right]^{\frac{d}{2-d}} d\beta.$$

Integrální řešení: 2/2

- pro $d \geq 3$: Fučík, Illangasekare a Beneš (2016):

$$F(S_w) = \int_{S_i}^{S_w} \left[\left(F'(S_i^+) \right)^{\frac{2-d}{d}} + \frac{d-2}{d} C_d A^{-\frac{2}{d}} \int_{S_i}^{\beta} \frac{D(\eta)}{F(\eta) - F_w(\eta)} d\eta \right]^{\frac{d}{2-d}} d\beta,$$

s podmínkou/rovnicí pro neznámou hodnotu $F'(S_i^+)$:

$$1 = \int_{S_i}^{S_0} \left[\left(F'(S_i^+) \right)^{\frac{2-d}{d}} + \frac{d-2}{d} C_d A^{-\frac{2}{d}} \int_{S_i}^{\beta} \frac{D(\eta)}{F(\eta) - F_w(\eta)} d\eta \right]^{\frac{d}{2-d}} d\beta.$$

- řešení integrální rovnice lze najít iteračně pomocí numerické integrace

Integrální řešení: 2/2

- pro $d \geq 3$: Fučík, Illangasekare a Beneš (2016):

$$F(S_w) = \int_{S_i}^{S_w} \left[\left(F'(S_i^+) \right)^{\frac{2-d}{d}} + \frac{d-2}{d} C_d A^{-\frac{2}{d}} \int_{S_i}^{\beta} \frac{D(\eta)}{F(\eta) - F_w(\eta)} d\eta \right]^{\frac{d}{2-d}} d\beta,$$

s podmínkou/rovnicí pro neznámou hodnotu $F'(S_i^+)$:

$$1 = \int_{S_i}^{S_0} \left[\left(F'(S_i^+) \right)^{\frac{2-d}{d}} + \frac{d-2}{d} C_d A^{-\frac{2}{d}} \int_{S_i}^{\beta} \frac{D(\eta)}{F(\eta) - F_w(\eta)} d\eta \right]^{\frac{d}{2-d}} d\beta.$$

- řešení integrální rovnice lze najít iteračně pomocí numerické integrace
- online implementace řešení pro $d = 1$, $d = 2$, a $d \geq 3$:

<http://mmg.fjfi.cvut.cz/~fucik/exact1d>
<http://mmg.fjfi.cvut.cz/~fucik/exact>

Obsah

Matematické modelování

Proudění v porézním prostředí

Ukázková úloha dvoufázového proudění

Přehled přesných řešení

Přesné řešení v \mathbb{R}^d

Pachatelé

Spolupachatelé (foto rok 2007)



Tissa H. Illangasekare

RF

Michal Beneš

Jiří Mikyška